

# **10. Анализ потока данных на основе областей**

## 9.1 Области графа потока управления

- Итеративный алгоритм анализа потока данных является только одним из подходов к решению задач потоков данных, существуют и другие подходы, в частности — анализ на основе областей (region-based analysis)
- В случае итеративных алгоритмов использовалась передаточная функция для каждого базового блока, анализ на основе областей находит передаточную функцию, которая подытоживает выполнение целой области программы
- Структура потока данных, использующая итеративный алгоритм определяется полурешеткой значений потока данных и семейством передаточных функций, замкнутых относительно композиции
- Структура потока данных, использующая анализ на основе областей включает полурешетку значений потока данных, **полурешетку передаточных функций**, которая должна располагать оператором сбора, оператором композиции и оператором замыкания

## 9.1 Области графа потока управления

### 9.1.1. Определение области

- ◇ **Определение.** *Областью* графа потока называется его подграф  $R = \langle N_R, E_R \rangle$  такой, что
1. существует узел  $h \in N_R$ , доминирующий над всеми узлами в  $R$ ; этот узел называется *заголовком области*  $R$ ;
  2. если из некоторого узла  $r_2$  графа потока управления можно достичь узла  $r_1 \in R$ , минуя заголовок  $h$ , то и  $r_2 \in R$ ;
  3. множество  $E_R$  включает все ребра графа потока управления между любыми узлами  $r_1, r_2 \in R$ , за исключением некоторых ребер, входящих в заголовок  $h$ ;

**Единственным входом** в область является ее заголовок.

# 9.1 Области графа потока управления

## 9.1.1. Определение области

- ◇ **Определение (менее формальное).** Область – некоторое подмножество узлов ГПУ, один из которых является заголовком, и доминирует все остальные, а вход в область возможен только через заголовок.
- ◇ В отличие от итеративного алгоритма анализ на основе областей использует передаточную функций не для одного базового блока, а для более крупной единицы – области.
- ◇ Если удастся создать область для всей процедуры целиком, то применяя передаточную функцию такой области можно получить значение потока данных на выходе из процедуры.

## 6.1. Повторение: естественные циклы

### 6.1.1 Определение естественного цикла

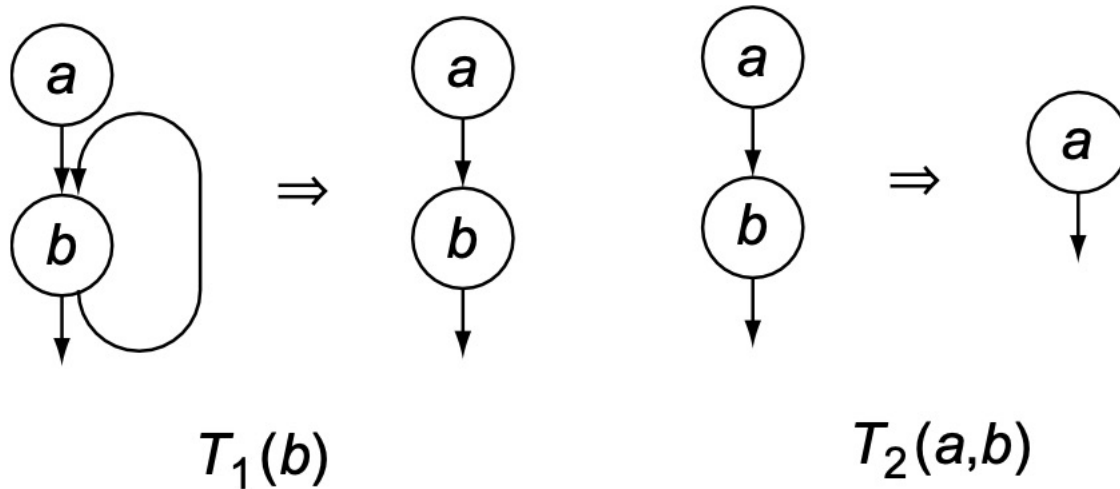
- **Определение.** *Естественным циклом* называется цикл со следующими свойствами:
  - Цикл имеет единственный входной узел, называемый его *заголовком*,
  - Существует обратное ребро, ведущее в заголовок цикла
- **Определение.** *Естественный цикл обратного ребра*  $\langle V_i, V_k \rangle$  составляют узел  $V_k$  (*заголовок цикла*) и все узлы ГПУ, из которых можно достичь узла  $V_i$ , не проходя через узел  $V_k$ . (эти узлы составляют *тело цикла*).

## 6.1. Повторение: естественные циклы

### 6.1.1.1 Определение приводимости цикла

- **Определение 1 (Cooper et al.)**

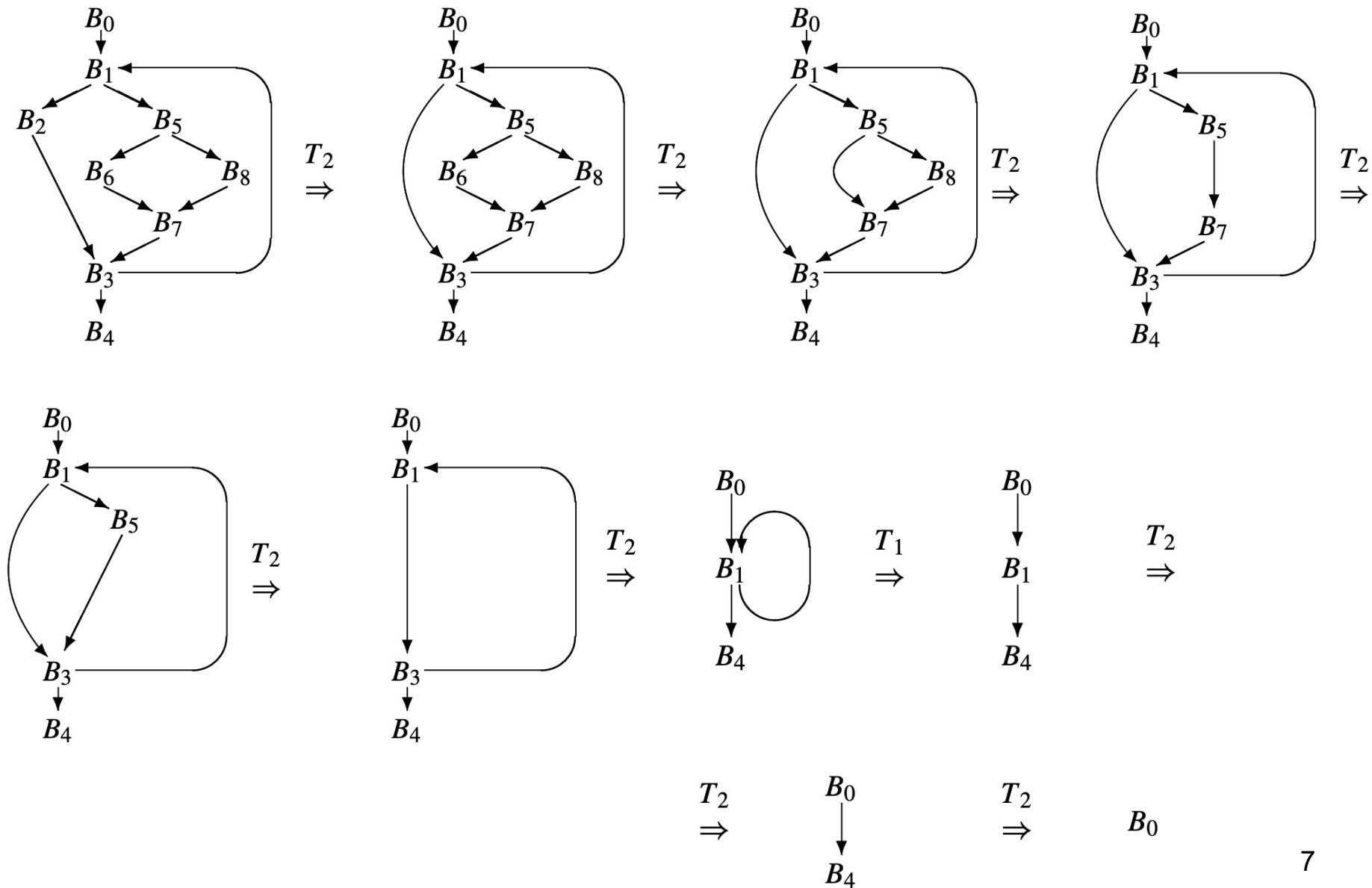
Граф потока называется приводимым (reducible), если применение преобразований  $T_1$  и  $T_2$  сводит его к одному узлу (преобразования могут быть применены многократно в любом порядке).



- $T_1$ : удаляет обратную дугу в цикле, состоящем из одной вершины
- $T_2$ : сворачивает узел  $b$  с единственным предком, присоединяя его к  $a$ . При этом дуга  $(a, b)$  удаляется, а также  $a$  становится источником дуг, исходивших из  $b$ . Если при этом возникает несколько дуг из  $a$  в некоторый узел  $n$ , они объединяются.

# 6.1. Выделение естественных циклов

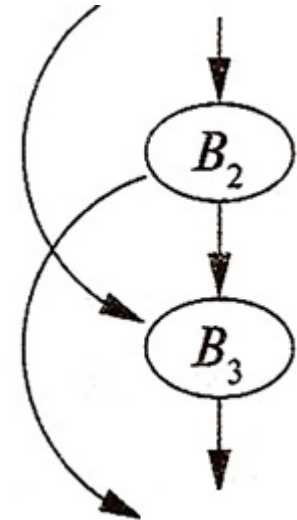
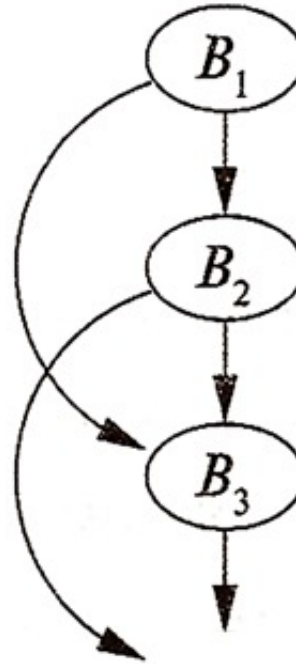
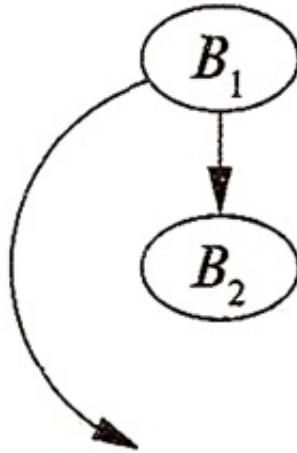
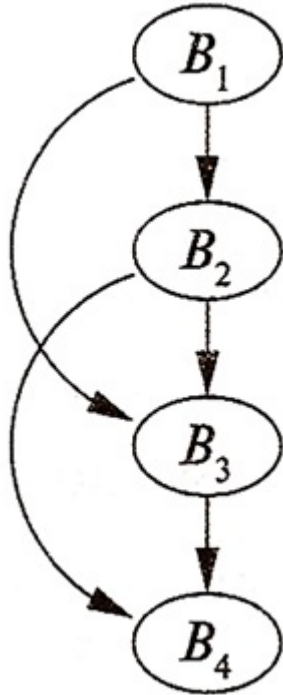
## 6.1.1.1 Определение приводимости цикла



# 9.1 Области графа потока управления

## 9.1.1. Определение области

◇ Пример 1.

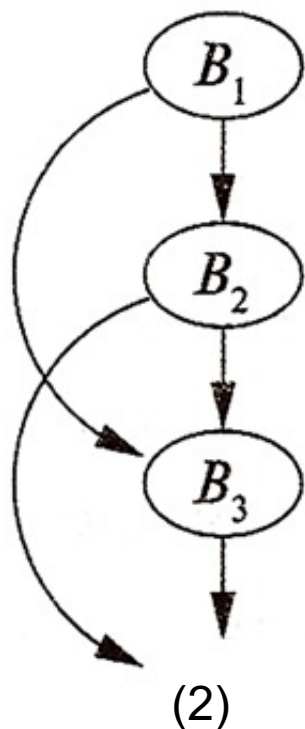
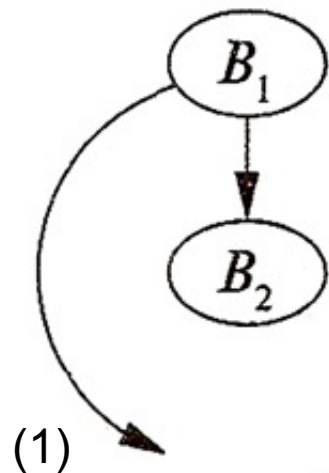




# 9.1 Области графа потока управления

## 9.1.1. Определение области

◇ Примеры.

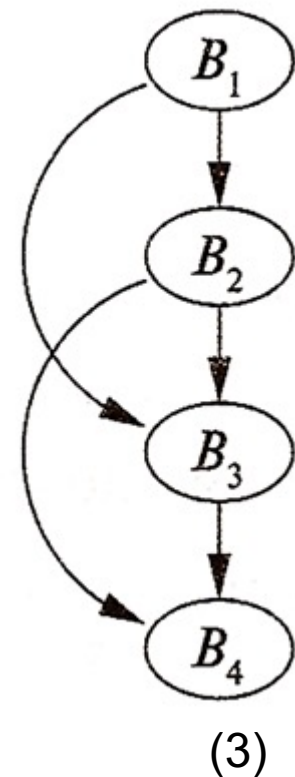


7. Рассмотрим граф на рисунке справа

1) узлы  $B_1$  и  $B_2$  вместе с ребром  $B_1 \rightarrow B_2$  образуют область с заголовком  $B_1$

2) узлы  $B_1, B_2$  и  $B_3$  и ребра  $B_1 \rightarrow B_2$ ,  $B_2 \rightarrow B_3$ ,  $B_1 \rightarrow B_3$  образуют область с заголовком  $B_1$

3) узлы  $B_1, B_2, B_3$  и  $B_4$  со всеми ребрами образуют область с заголовком  $B_1$ . Во-первых, область можно свернуть, применяя шаблон  $T_2$ , а во-вторых, если добавить обратную дугу  $B_1 \rightarrow B_4$ , то сразу понятно, что область представляет собой тело естественного цикла ( $B_4$  достижим из  $B_2$  и  $B_3$ , не проходя через  $B_1$ )



# 9.1 Области графа потока управления

## 9.1.1. Определение области

### ◇ Примеры.

1. Рассмотрим граф на верхнем рисунке

3) подграф  $R = \langle \{B_2, B_3\}, \{B_2 \rightarrow B_3\} \rangle$  **область не образует**, так как управление может попасть в него и через  $B_2$ , и через  $B_3$ :

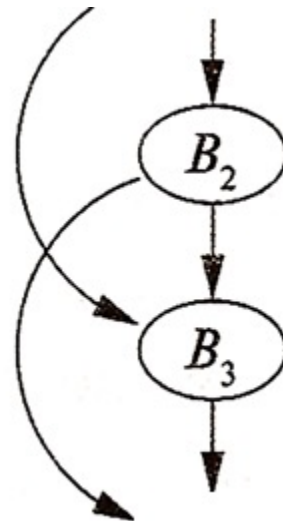
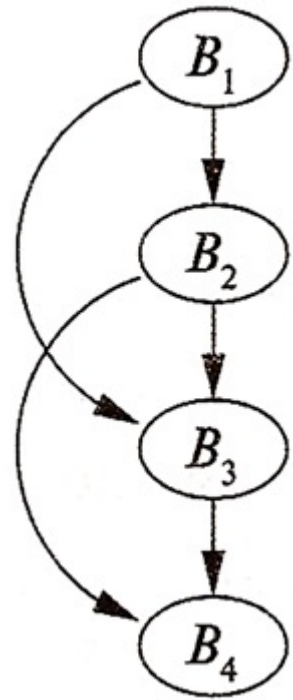
$B_2$  не является доминатором  $B_3$ ,

$B_3$  не является доминатором  $B_2$

и, следовательно, условие 1 определения 9.1.1

(**существует узел  $h \in N_R$ , доминирующий над всеми узлами в  $R$ ;**)

не выполняется (нижний рисунок)



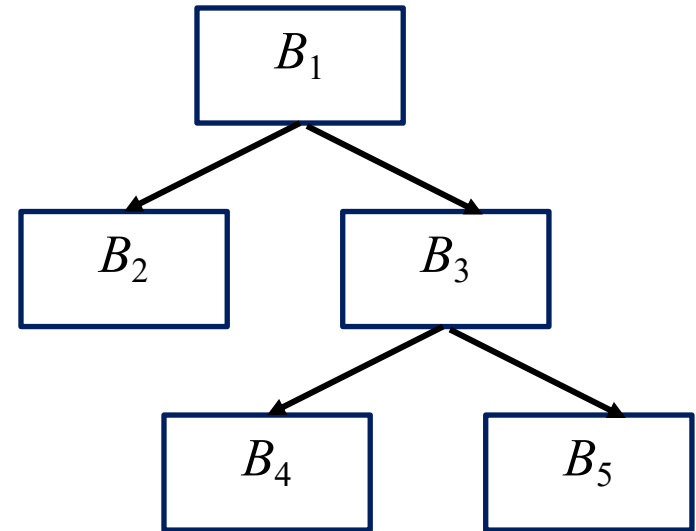
# 9.1 Области графа потока управления

## 9.1.1. Определение области

### ◇ Пример 2.

Суперблок (рассматривался, когда изучался метод глобальной нумерации значений) – пример области. В частности, граф на рисунке – область с заголовком  $B_1$ .

Узел  $B_1$  доминирует над остальными узлами:

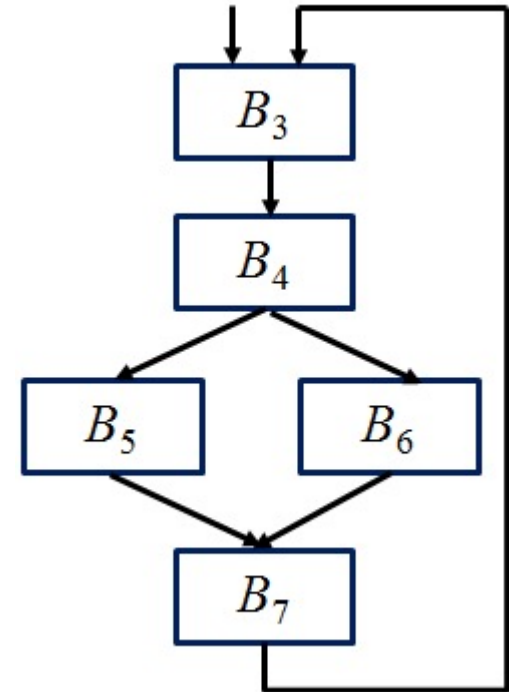


# 9.1 Области графа потока управления

## 9.1.1. Определение области

### ◇ Пример 3.

Граф на рисунке – область с заголовком  $B_3$   
(естественный цикл).



# 9.1 Структурный анализ графа потока управления

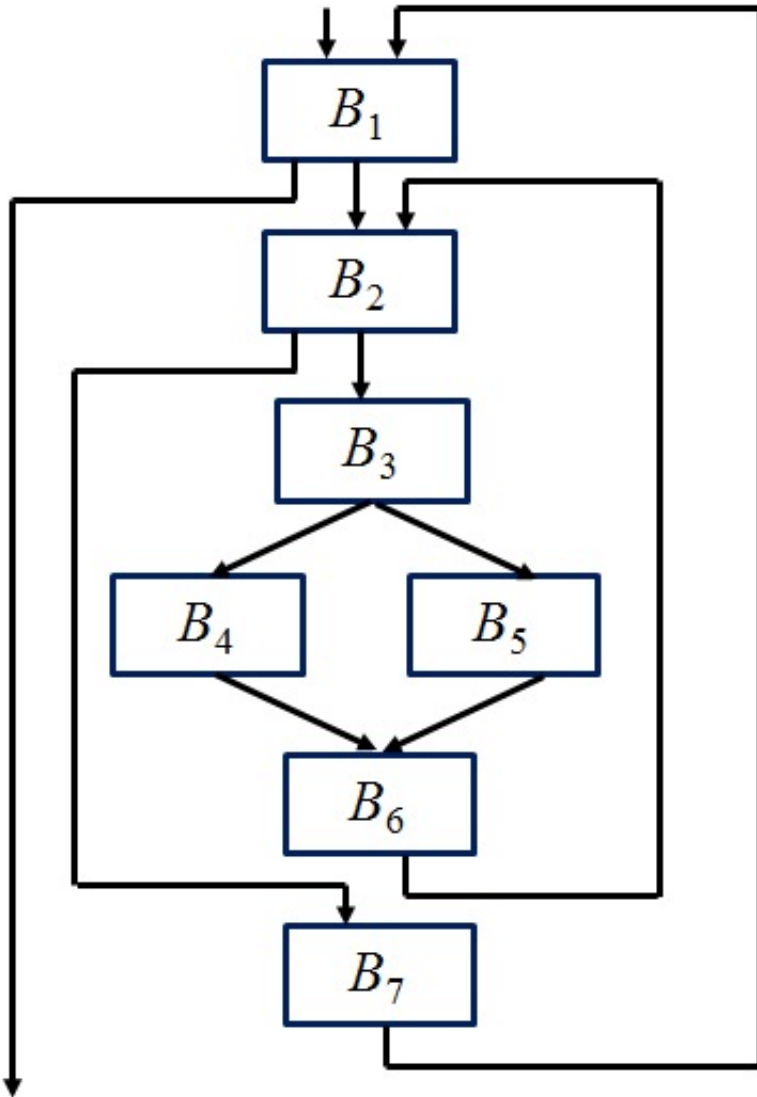
## 9.1.2. Классификация областей

### ◇ Определения:

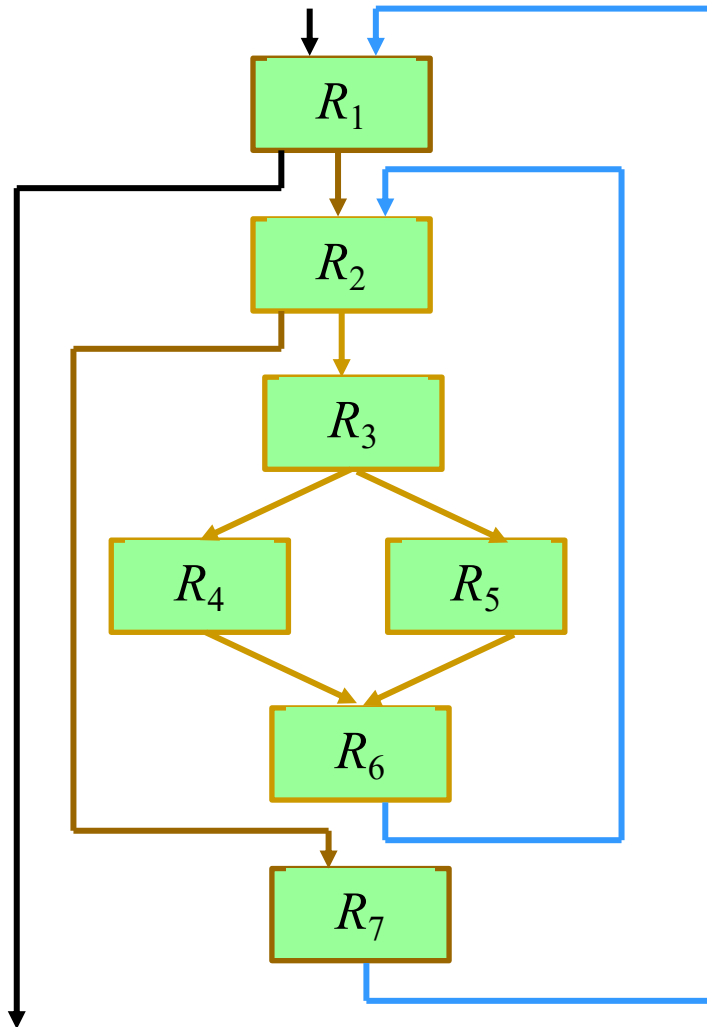
- (1) Каждый базовый блок  $B$  может рассматриваться как область  $R = \langle \{B\}, \emptyset \rangle$ . Такая область называется **область-лист**.
- (2) Пусть  $L$  – самый внутренний цикл гнезда циклов.  
Тело цикла  $L$  (все узлы и ребра, за исключением обратных ребер к заголовку цикла) можно заменить узлом, представляющим область  $R$ . Такая область называется **область-тело**.
- (3) Если к области-телу  $R$ , соответствующей телу цикла  $L$  присоединить обратное ребро к заголовку цикла  $L$ , получится новая область  $Q$ . Такая область называется **область-цикл**.

# 9.1 Структурный анализ графа потока управления

## 9.1.2. Виды областей. Пример



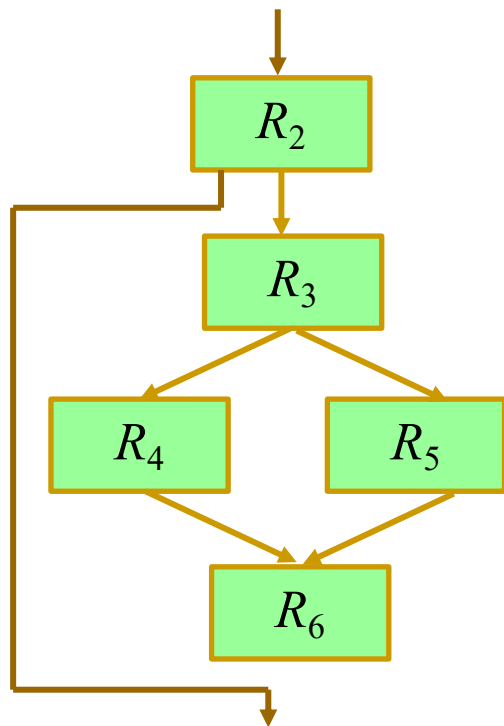
Фрагмент процедуры



Базовые блоки – области-листья

# 9.1 Структурный анализ графа потока управления

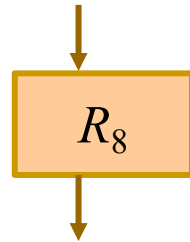
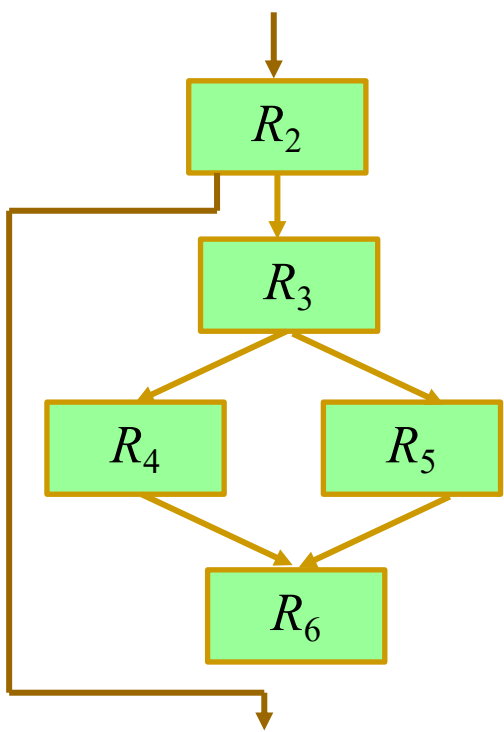
## 9.1.2. Виды областей. Пример



Тело внутреннего цикла

# 9.1 Структурный анализ графа потока управления

## 9.1.2. Виды областей. Пример



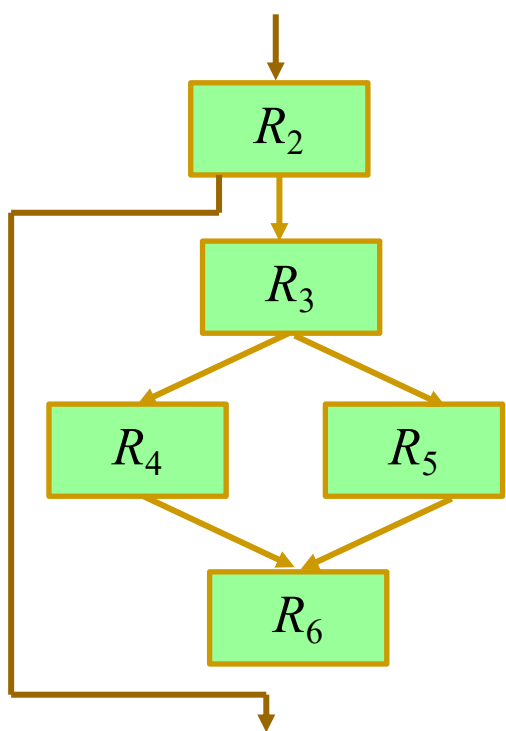
можно заменить на  
область-тело  $R_8$

Тело внутреннего цикла

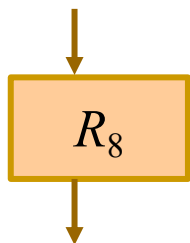


# 9.1 Структурный анализ графа потока управления

## 9.1.2. Виды областей. Пример

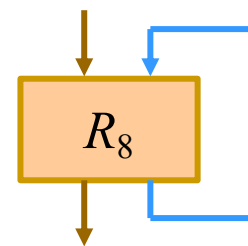


Тело внутреннего цикла

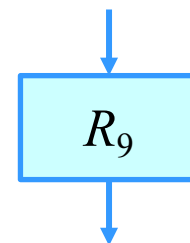


можно заменить на  
область-тело  $R_8$

добавив обратную  
дугу,



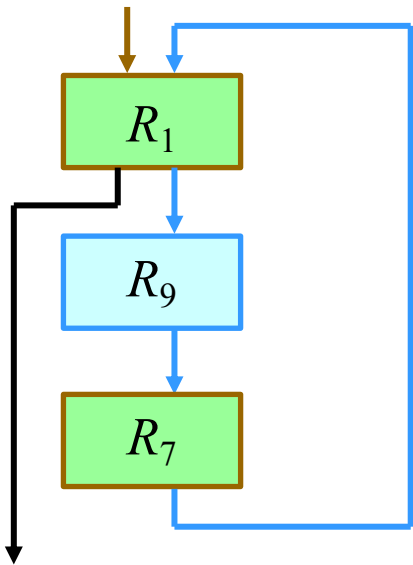
получим область-  
цикл  $R_9$



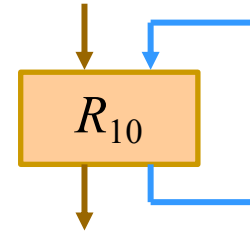
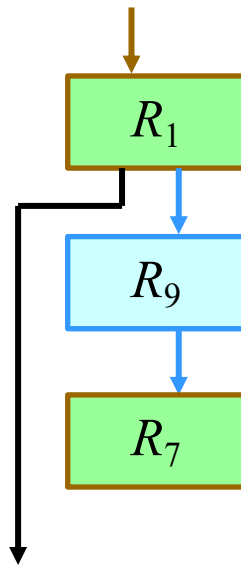
# 9.1 Структурный анализ графа потока управления

## 9.1.2. Виды областей. Пример

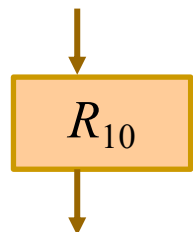
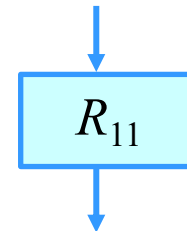
Граф потока управления примет вид



Тело внешнего цикла



Добавив обратную дугу, получим область-цикл  $R_{11}$

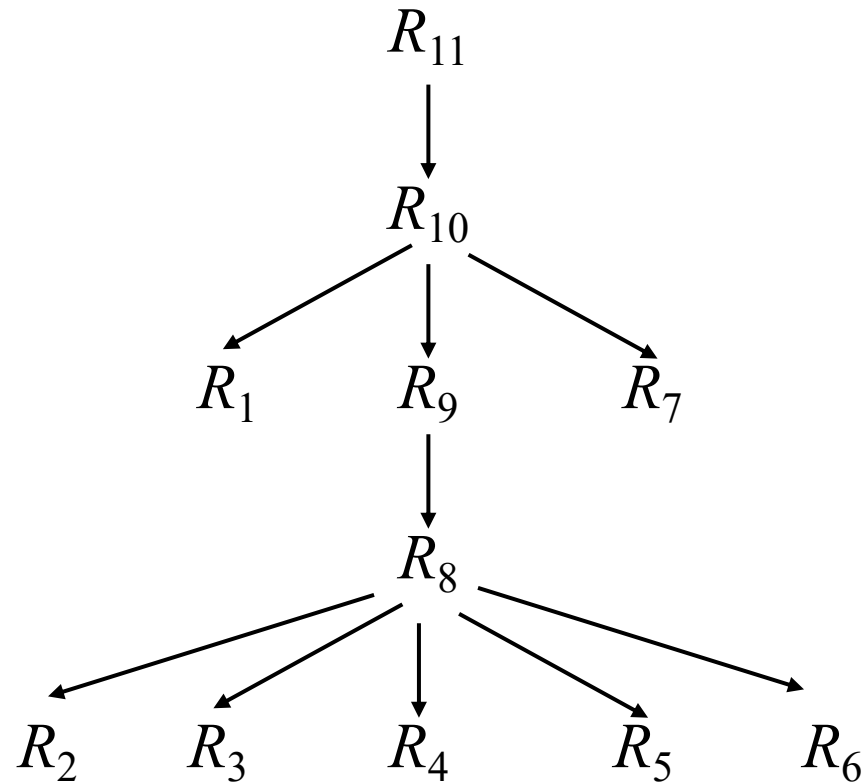


Заменяется областью-телом  $R_{10}$

# 9.1 Структурный анализ графа потока управления

## 9.1.2. Виды областей. Пример

Дерево управления

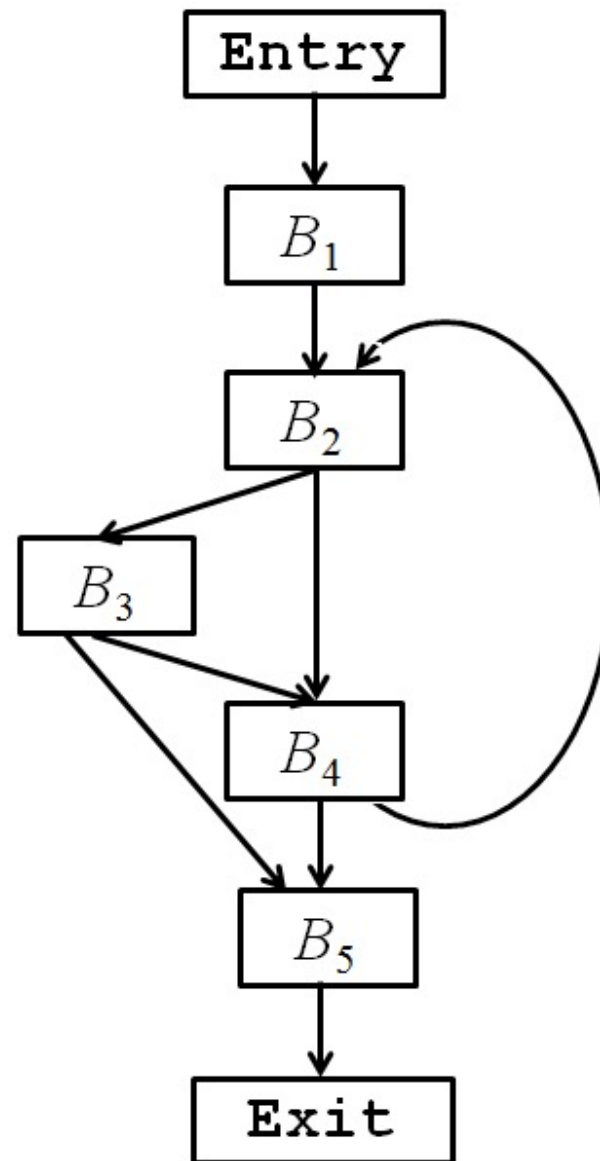


# 9.1 Структурный анализ графа потока управления

## 9.1.3. Выделение областей

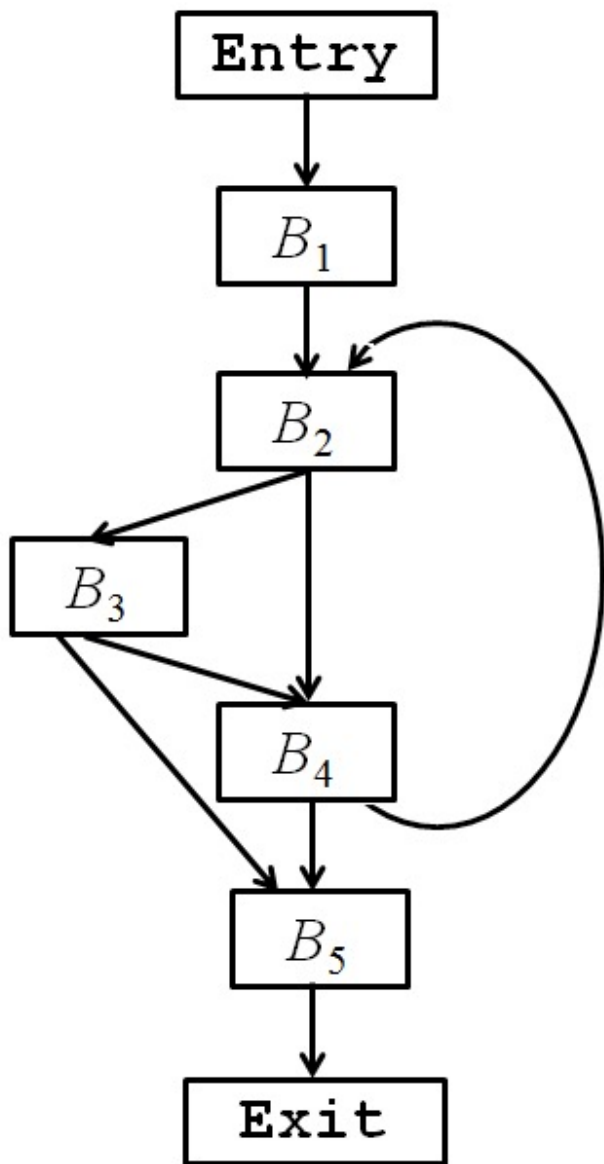
◇ Рассмотрим ГПУ, показанный на рисунке.

$B_1$	$i \leftarrow -m, 1$	$d_1$
	$j \leftarrow n$	$d_2$
	$a \leftarrow u1$	$d_3$
$B_2$	$i \leftarrow +i, 1$	$d_4$
$B_3$	$a \leftarrow u2$	$d_5$
$B_4$	$j \leftarrow u3$	$d_6$
$B_5$	. . . .	

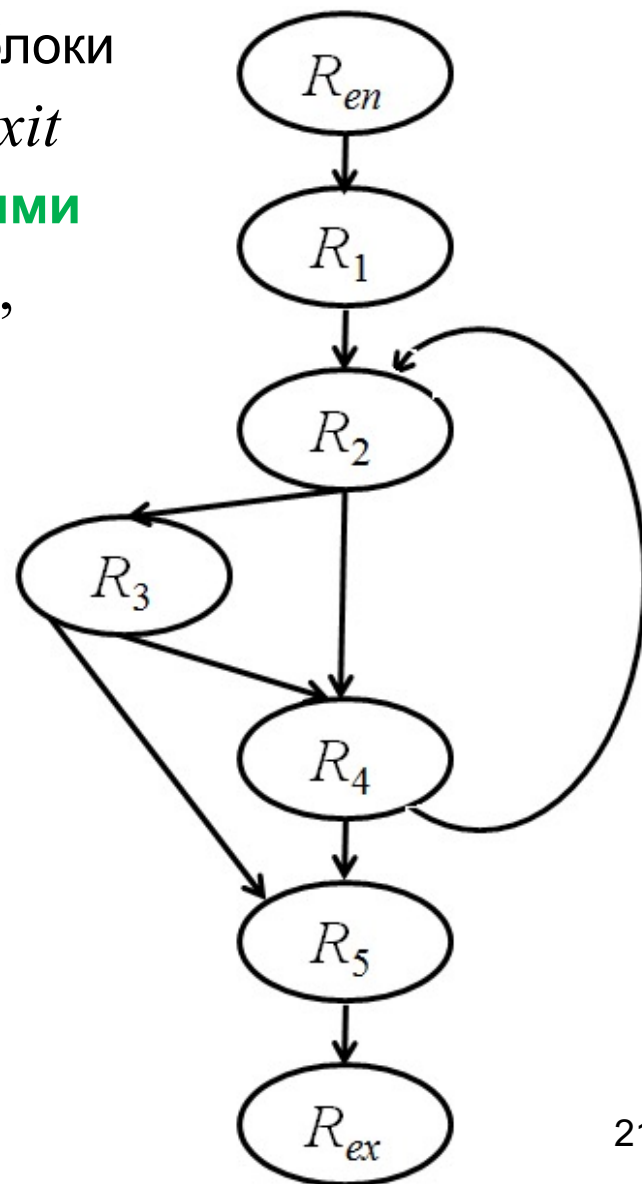


# 9.1 Структурный анализ графа потока управления

## 9.1.3. Выделение областей



- 1) Заменяя базовые блоки  $Entry, B_1, \dots, B_5, Exit$  **областями-листьями**  $R_{en}, R_1, \dots, R_5, R_{ex}$ , получим граф

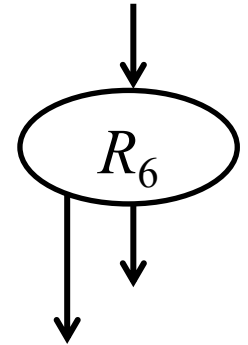
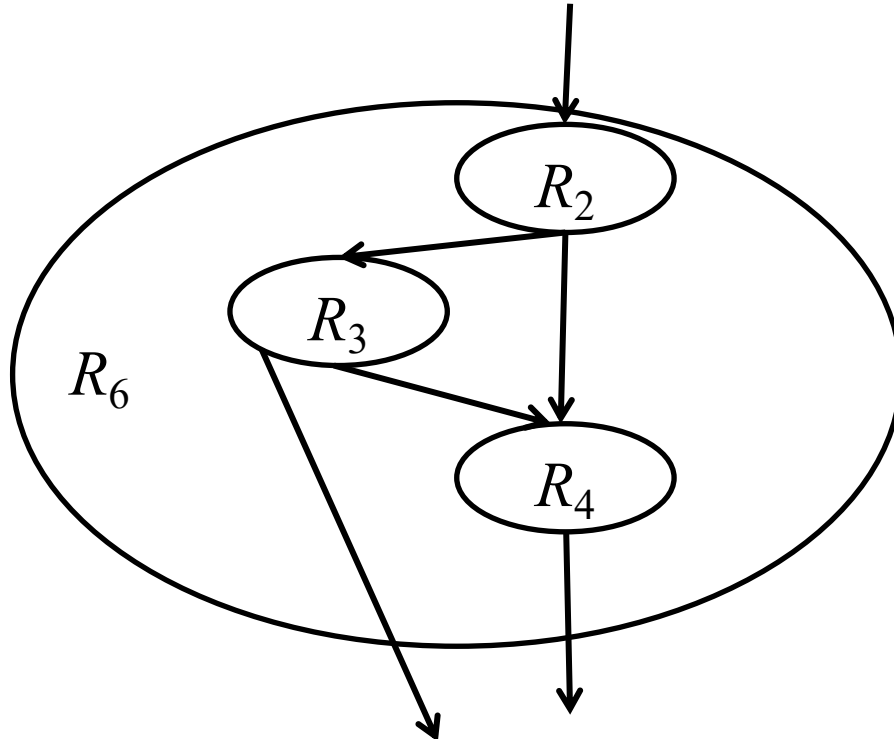
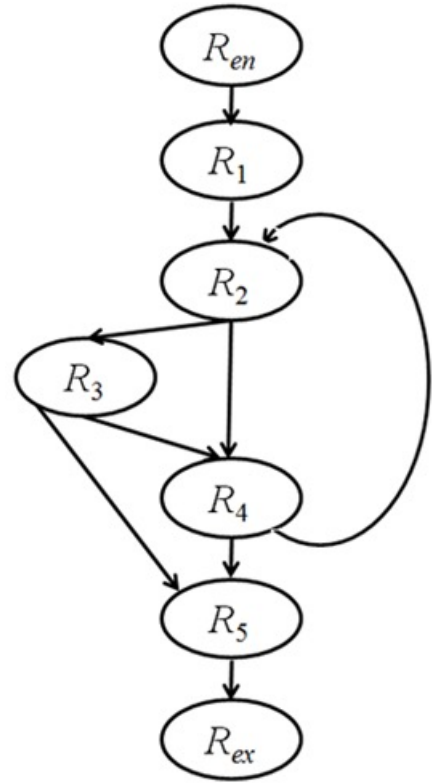


# 9.1 Структурный анализ графа потока управления

## 9.1.3. Выделение областей

2) Области-листья  $R_2$ ,  $R_3$  и  $R_4$  и ребра  $R_1 \rightarrow R_2$ ,  $R_2 \rightarrow R_3$ ,  $R_2 \rightarrow R_4$ ,  $R_3 \rightarrow R_4$ ,  $R_3 \rightarrow R_5$ ,  $R_4 \rightarrow R_5$  составляют **область-тело**  $R_6$ .

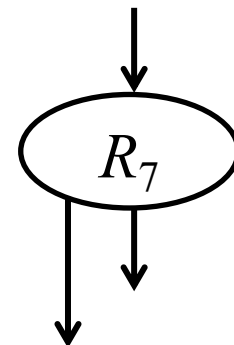
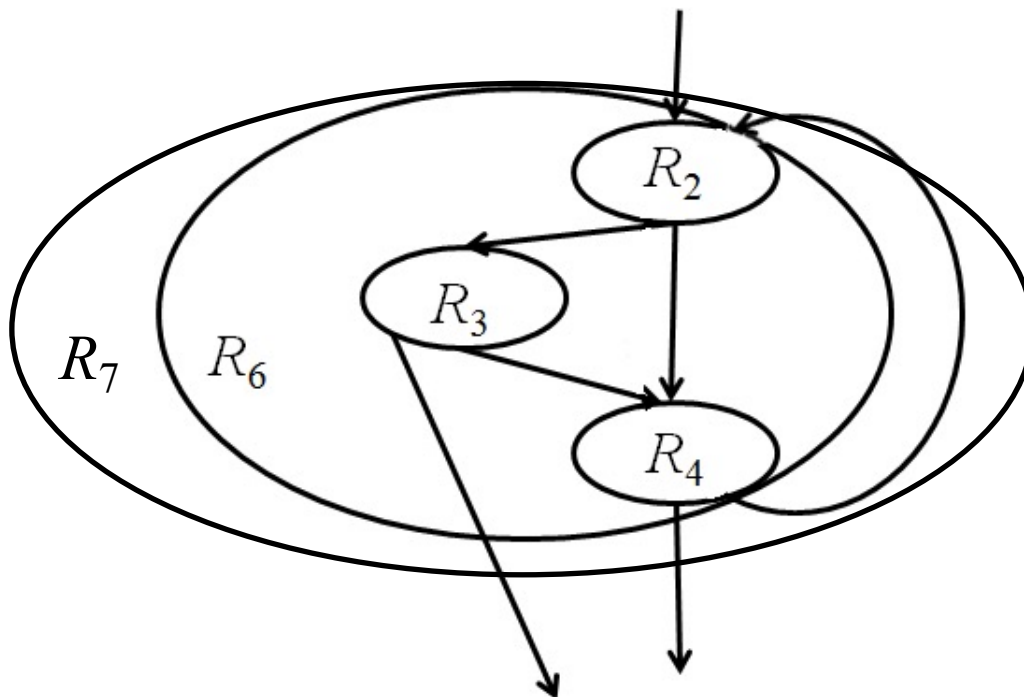
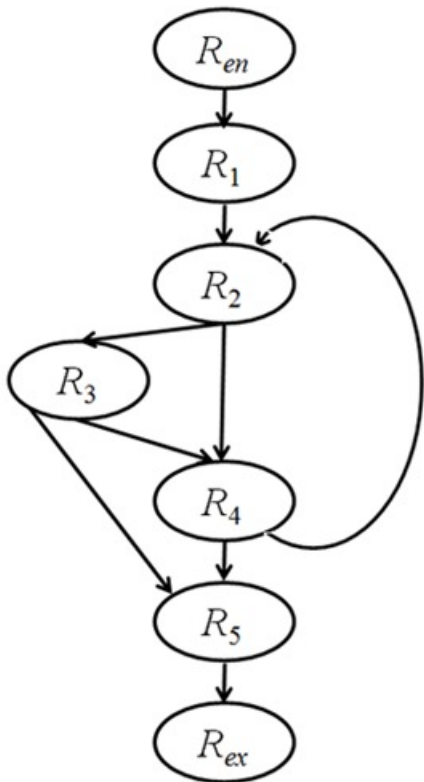
$$R_6 = \langle \{R_2, R_3, R_4\}, \{R_1 \rightarrow R_2, R_2 \rightarrow R_3, R_2 \rightarrow R_4, R_3 \rightarrow R_4, R_3 \rightarrow R_5, R_4 \rightarrow R_5\} \rangle$$



# 9.1 Структурный анализ графа потока управления

## 9.1.3. Выделение областей

3) Область-тело  $R_6$ , и обратное ребро  $R_4 \rightarrow R_2$  составляют **область-цикл**  $R_7 = \langle \{R_6\}, \{R_4 \rightarrow R_2\} \rangle$ .



## 9.1 Структурный анализ графа потока управления

### 9.1.4. Алгоритм построения иерархии областей

#### ◇ Алгоритм.

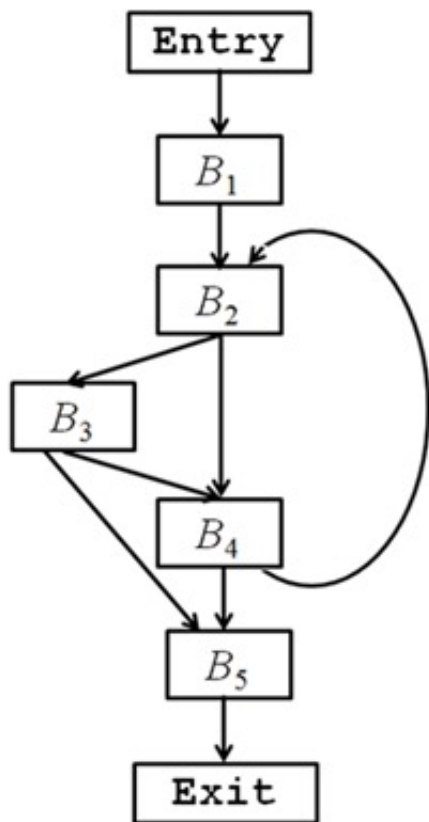
1. Найти все естественные циклы.
2. Найденные естественные циклы упорядочить изнутри гнезд наружу, т.е. начиная с наиболее внутренних циклов.
3. Выбрать очередной естественный цикл (сначала – самый первый, потом – следующий по порядку).  
Если циклов больше нет, **алгоритм заканчивается**.
4. Тело выбранного цикла  $L$  (все узлы и ребра, за исключением обратных ребер к заголовку) заместить узлом  $R$ , представляющим область-тело.  
**После замещения** обратное ребро в заголовок  $L$  становится петлей.
5. Построить область-цикл  $Q$ , представляющую цикл  $L$  (в отличие от области  $R$  область  $Q$  не содержит петли).  
Перейти к шагу 3.



# 9.1 Структурный анализ графа потока управления

## 9.1.5. Построение иерархии областей

◇ **Пример.** Применим алгоритм к следующему ГПУ

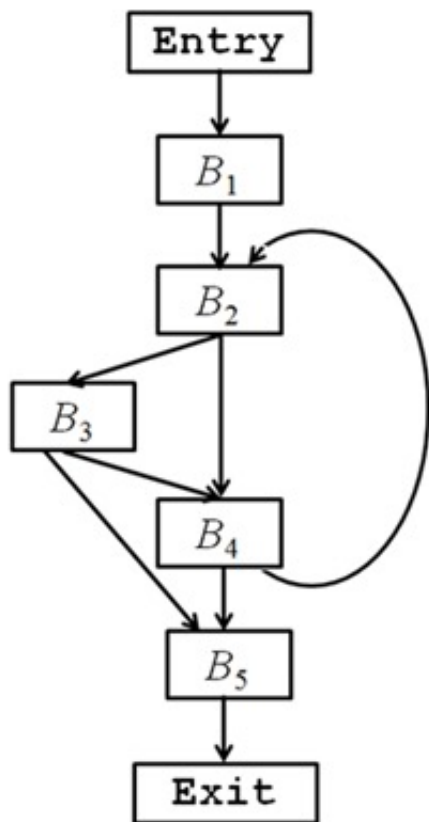


Исходный ГПУ

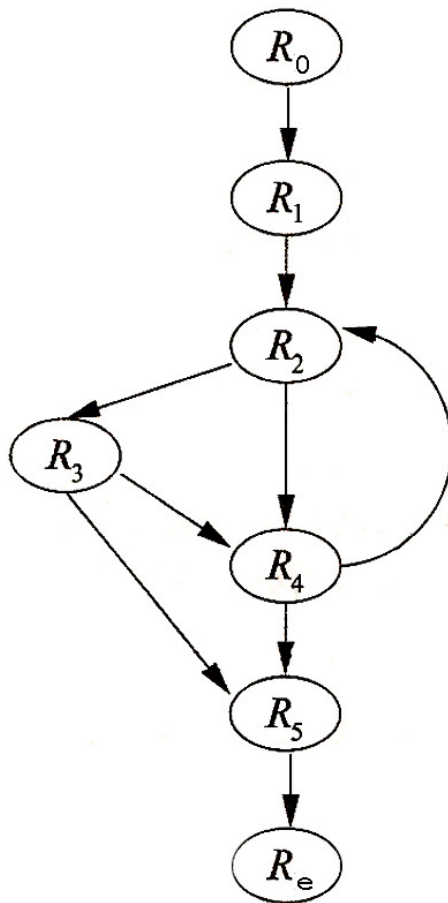
# 9.1 Структурный анализ графа потока управления

## 9.1.5. Построение иерархии областей

◇ **Пример.** Применим алгоритм к следующему ГПУ



Исходный ГПУ

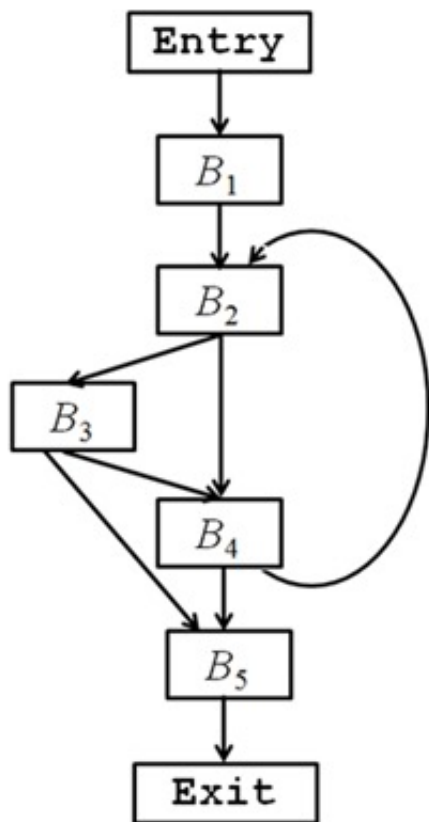


Базовые блоки  
заменены областями-  
листьями

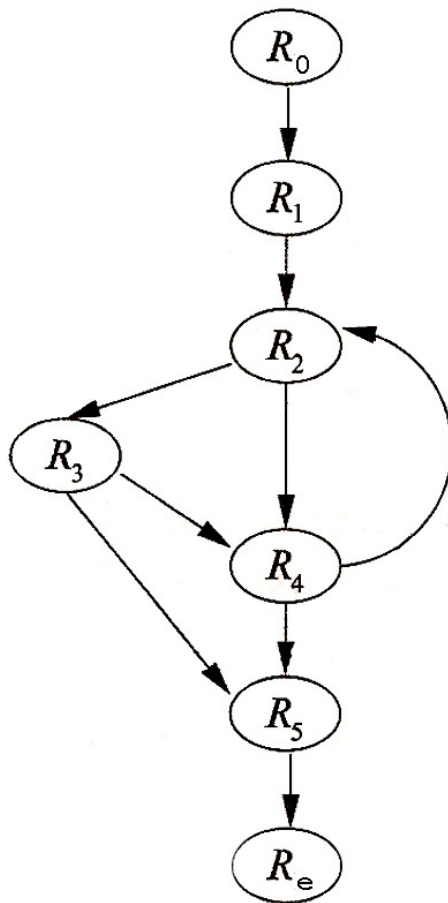
# 9.1 Структурный анализ графа потока управления

## 9.1.5. Построение иерархии областей

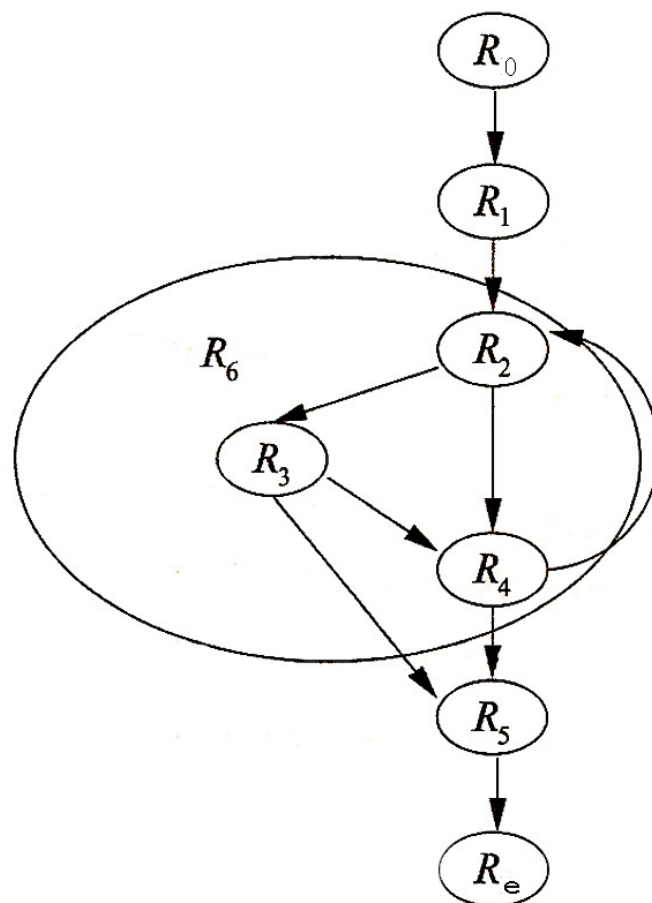
◇ **Пример.** Применим алгоритм к следующему ГПУ



Исходный ГПУ



Базовые блоки  
заменены областями-  
листьями

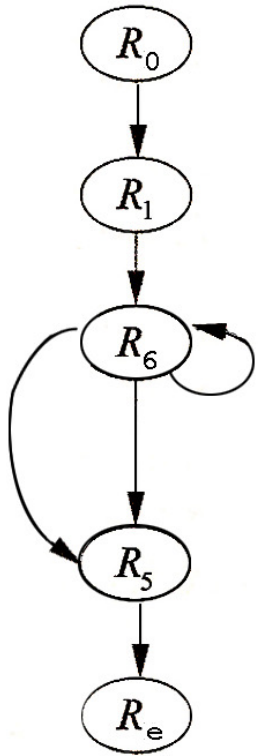


После шага 2

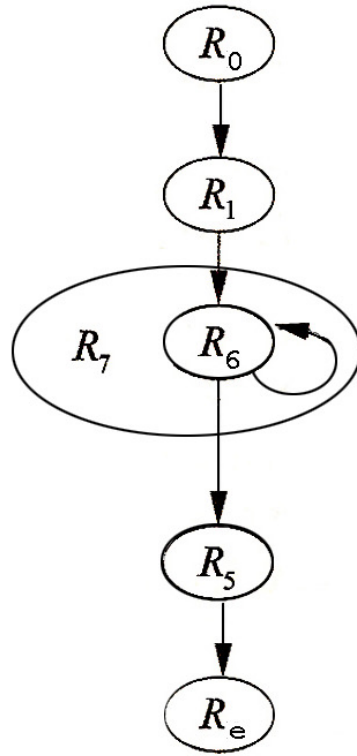
# 9.1 Структурный анализ графа потока управления

## 9.1.5. Построение иерархии областей

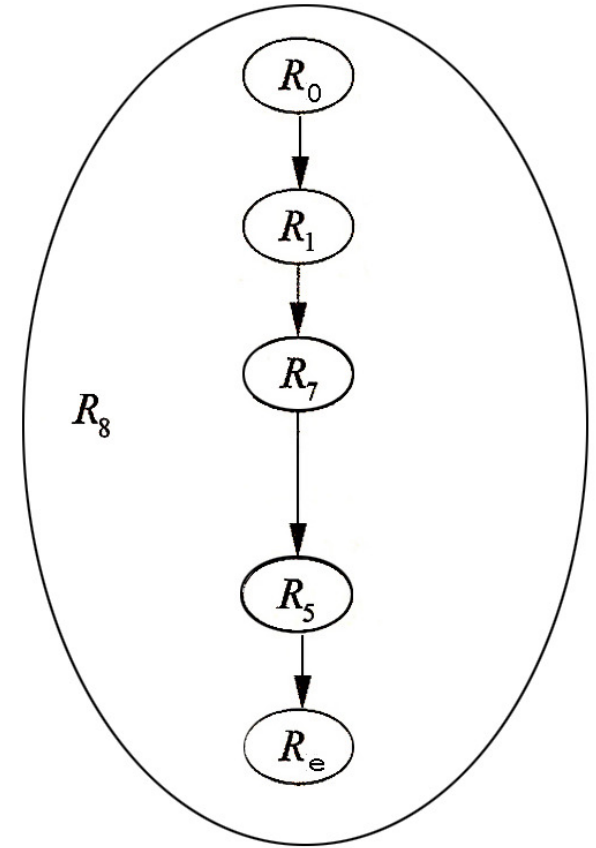
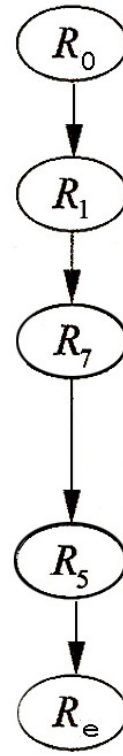
◇ Пример.



После шага 4



После шага 5

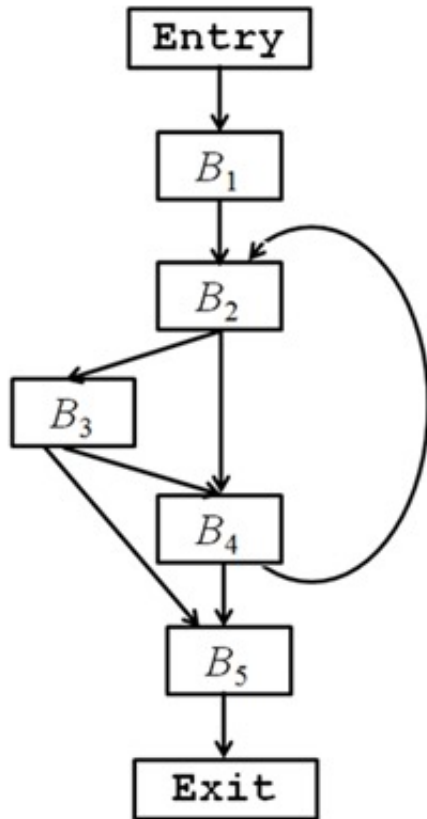


Область  $R_8$  – весь ГПУ

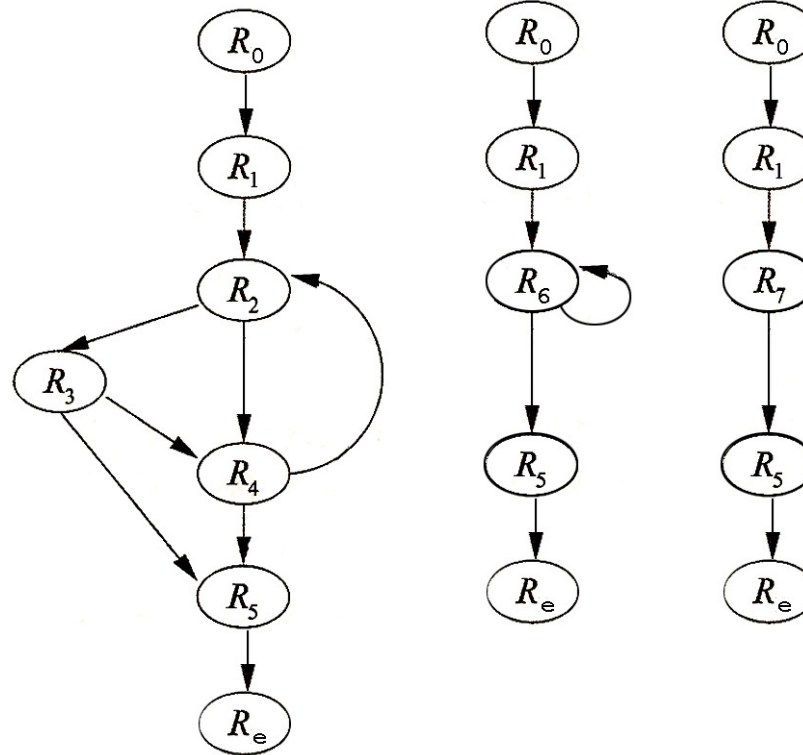
# 9.1 Структурный анализ графа потока управления

## 9.1.5. Построение иерархии областей

◇ Пример.



Исходный ГПУ

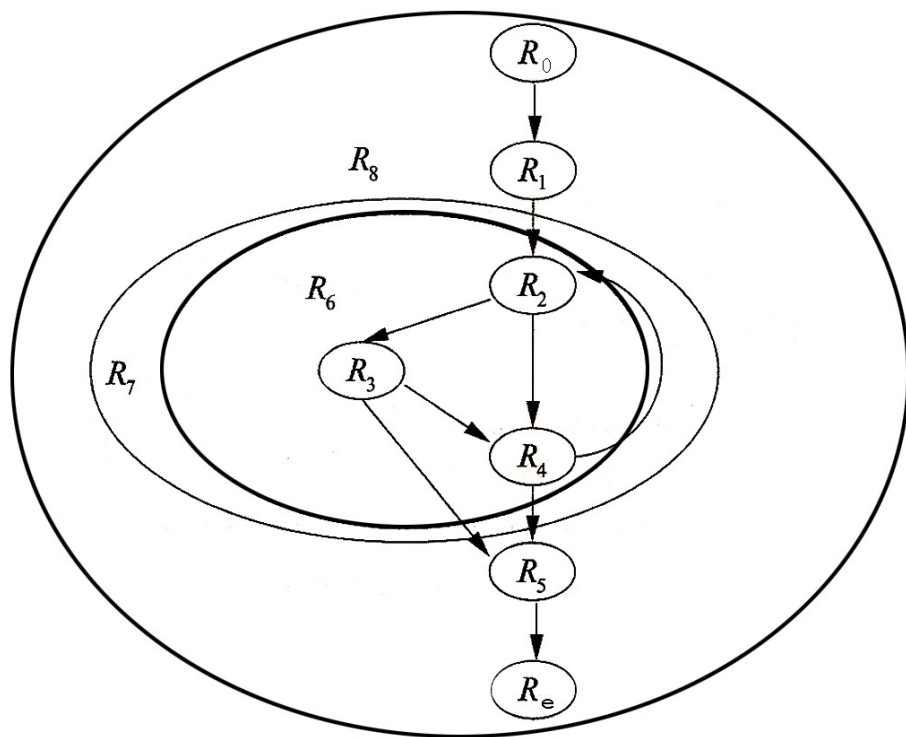


Последовательность преобразований

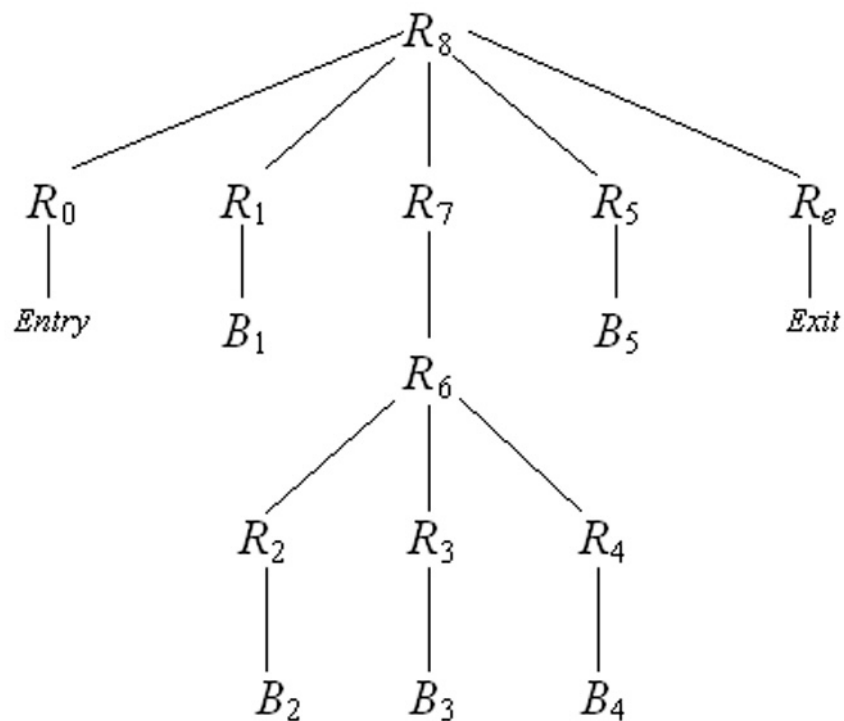
# 9.1 Структурный анализ графа потока управления

## 9.1.5. Построение иерархии областей

◇ Пример.



Вся иерархия

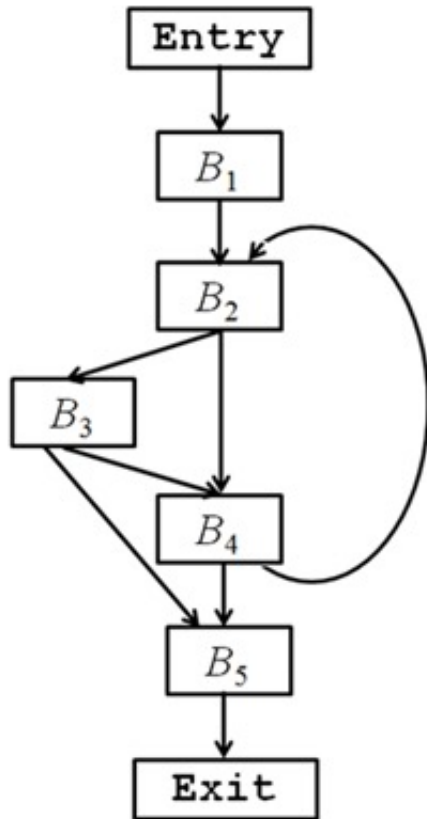


Дерево управления

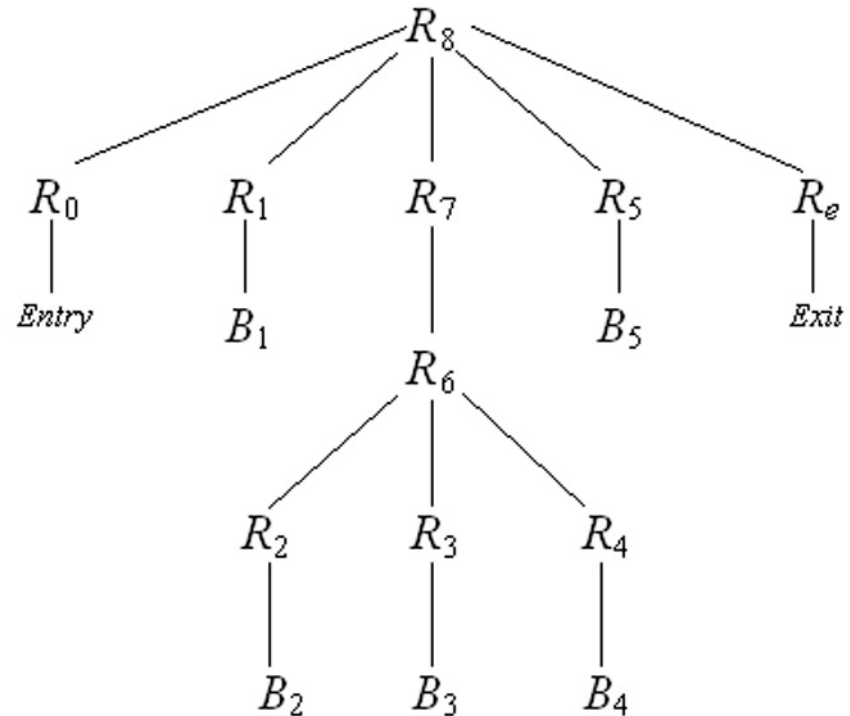
# 9.1 Структурный анализ графа потока управления

## 9.1.5. Построение иерархии областей

◇ Пример.



Исходный ГПУ



Дерево управления

# 9.1 Структурный анализ графа потока управления

## 9.1.6. Алгоритм построения восходящего порядка областей

- ◇ **Вход:** приводимый ГПУ  $G$ .
- ◇ **Выход:** список областей графа  $G$ , который может использоваться в задачах анализа потоков данных на основе областей.
- ◇ **Метод:** выполняем следующие действия.
  - 1) Составляем список областей-листьев, состоящих из отдельных блоков в произвольном порядке.
  - 2) Выбираем очередной естественный цикл  $L$ , такой, что все области, соответствующие естественным циклам, содержащимся в  $L$ , уже внесены в список. Сначала добавляем в список область-тело для  $L$ , а затем – область-цикл  $L$ .
  - 3) Если весь граф  $G$  является естественным циклом, добавляем в конец списка область, состоящую из всего графа потока целиком.



# 9.1 Структурный анализ графа потока управления

## 9.1.7. Скорость сходимости итерационных алгоритмов

- ◇ Построение областей и дерева управления позволяет ускорить обход графа потока управления во время выполнения различных алгоритмов анализа потока данных.
- ◇ В алгоритмах анализа потока данных, в которых в качестве сбора используется объединение, удастся, заменив каждый цикл узлом типа область-цикл, оставить только ациклические пути для распространения атрибутов.

Это позволяет сократить время выполнения соответствующего анализа потока данных.

## 9.2. Анализ потока данных на основе областей

### 9.2.1. Схема анализа потока данных на основе областей

- ◇ На каждом уровне иерархии областей:
  - ◇ Для каждой области  $R$  и для каждой подобласти  $R' \in R$  вычисляется передаточная функция  $f_{R,In}[R']$ , суммирующая влияние всех возможных путей в  $R$ , ведущих от входа в  $R$  ко входу в  $R'$ .

## 9.2. Анализ потока данных на основе областей

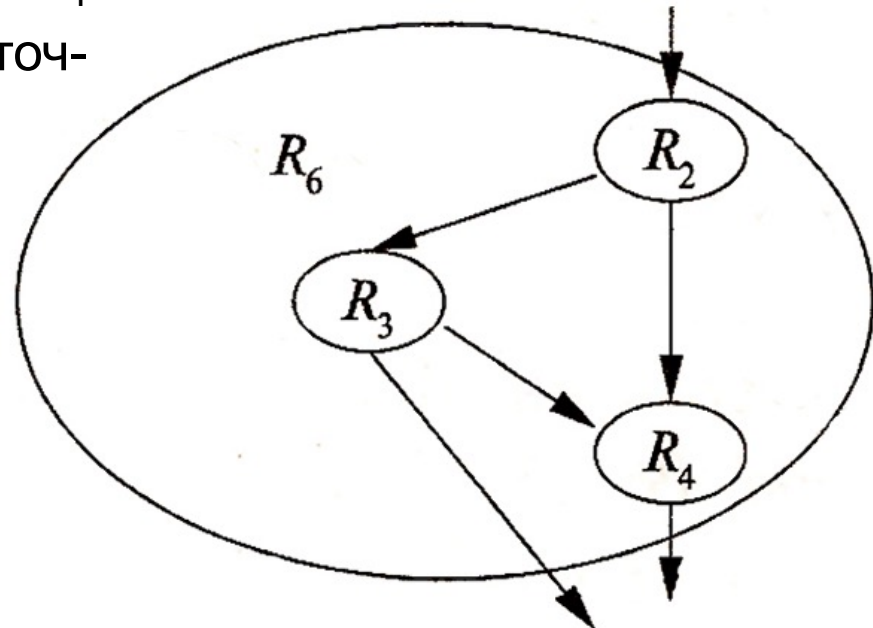
### 9.2.1. Схема анализа потока данных на основе областей

- ◇ На каждом уровне иерархии областей:
  - ◇ Для каждой области  $R$  и для каждой подобласти  $R' \in R$  вычисляется передаточная функция  $f_{R,In}[R']$ , суммирующая влияние всех возможных путей в  $R$ , ведущих от входа в  $R$  ко входу в  $R'$ .
  - ◇ Например, для области  $R_6$  и её подобластей  $R_2$ ,  $R_3$  и  $R_4$  будут вычислены передаточные функции

$$f_{R_6,In}[R_2]$$

$$f_{R_6,In}[R_3]$$

$$f_{R_6,In}[R_4]$$



## 9.2. Анализ потока данных на основе областей

### 9.2.1.1. Направление анализа потока данных на основе областей

- ◇ Мы рассматриваем анализ только в прямом направлении (сверху вниз). Для задач потока данных в обратном направлении необходимы неочевидные изменения в алгоритме, и в данном курсе они подробно не рассматриваются.
- ◇ В самом простом случае можно предложить следующее решение для выполнения анализа в обратном направлении:
  - 1) Построение областей выполняется на обратном графе потока управления;
  - 2) Передаточные функции областей для анализа в обратном направлении строятся так же как и для прямого, но только на обратном графе;
  - 3) Обратный граф потока управления обязательно должен быть приводимый, в противном случае данный метод неприменим. Это накладывает ограничение в виде отсутствия `break` в исходной программе (иначе в обратном графе будет вход внутрь региона).

## 9.2. Анализ потока данных на основе областей

### 9.2.1. Схема анализа потока данных на основе областей

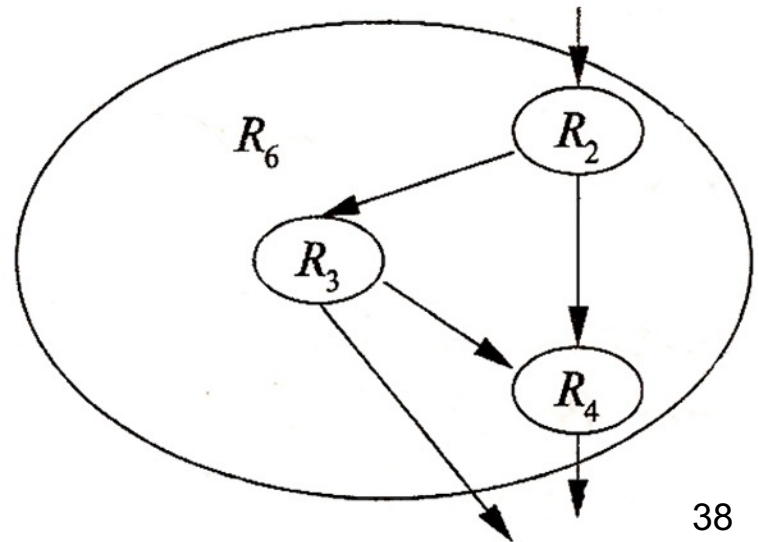
- ◇ На каждом уровне иерархии областей:
  - ◇ Область  $R' \in R$  называется *выходной* подобластью области  $R$ , если у  $R'$  есть выходное ребро к некоторой области, не принадлежащей области  $R$ .
  - ◇ Для каждой выходной области  $R' \in R$  вычисляется передаточная функция  $f_{R,Out}[R']$ , суммирующая влияние всех возможных путей в  $R$ , ведущих от входа в  $R$  к выходу из  $R'$ .

## 9.2. Анализ потока данных на основе областей

### 9.2.1. Схема анализа потока данных на основе областей

- ◇ На каждом уровне иерархии областей:
  - ◇ Область  $R' \in R$  называется *выходной* подобластью области  $R$ , если у  $R'$  есть выходное ребро к некоторой области, не принадлежащей области  $R$ .
  - ◇ Для каждой выходной области  $R' \in R$  вычисляется передаточная функция  $f_{R,Out}[R']$ , суммирующая влияние всех возможных путей в  $R$ , ведущих от входа в  $R$  к выходу из  $R'$ .
  - ◇ Например, для области  $R_6$  и её выходных подобластей  $R_3$  и  $R_4$  будут вычислены передаточные функции

$$f_{R_6,Out}[R_3] \quad f_{R_6,Out}[R_4]$$



## 9.2. Анализ потока данных на основе областей

### 9.2.1. Схема анализа потока данных на основе областей

◇ Первый этап. Построение передаточных функций всех областей (от листьев к корню дерева управления).

◇ Сначала обрабатываются области-листья (отдельные блоки):

для каждой области-листа  $R$ , состоящей из блока  $B$ ,

$$f_{R,In}[B] = I \text{ (тождественная функция)}$$

$$f_{R,Out}[B] = f_B \text{ (передаточная функция блока } B\text{).}$$

## 9.2. Анализ потока данных на основе областей

### 9.2.1. Схема анализа потока данных на основе областей

◇ Первый этап. Построение передаточных функций всех областей (от листьев к корню дерева управления).

◇ Сначала обрабатываются области-листья (отдельные блоки):

для каждой области-листа  $R$ , состоящей из блока  $B$ ,

$$f_{R,In}[B] = I \text{ (тождественная функция)}$$

$$f_{R,Out}[B] = f_B \text{ (передаточная функция блока } B\text{).}$$

◇ Перемещение вверх по иерархии:

- ◆  **$R$  – область-тело:** ребра, принадлежащие  $R$ , образуют ациклический граф на подобластях  $R$ , что позволяет при вычислении передаточных функций использовать топологический порядок областей.
- ◆  **$R$  – область-цикл:** учитывается только влияние обратных ребер, ведущих к заголовку  $R$ .



## 9.2. Анализ потока данных на основе областей

### 9.2.1. Схема анализа потока данных на основе областей

- ◇ Первый этап. Построение передаточных функций всех областей (от листьев к корню дерева управления).
- ◇ Сначала обрабатываются области-листья (отдельные блоки).
- ◇ Перемещение вверх по иерархии:
  - ◆  **$R$  – область-тело:** ребра, принадлежащие  $R$ , образуют ациклический граф на подобластях  $R$ , что позволяет при вычислении передаточных функций использовать топологический порядок областей.
  - ◆  **$R$  – область-цикл:** учитывается только влияние обратных ребер, ведущих к заголовку  $R$ .
- ◇ В конце обработки достигается вершина иерархии и вычисляются передаточные функции области  $R_n$ , представляющей собой весь граф потока.

## 9.2. Анализ потока данных на основе областей

### 9.2.1. Схема анализа потока данных на основе областей

- ◇ **Второй этап.** Анализ иерархии областей (от корня к листьям дерева управления).
  - ◇ Области просматриваются в обратном порядке, начиная с области  $R_n$  и далее, опускаясь вниз по иерархии. Для каждой области вычисляются значения потока данных на входе.
  - ◇ Чтобы получить значения потока данных на входе  $R \in R_n$  используется передаточная функция  $f_{R_n, In}[R]$
  - ◇ Вычисления повторяются, до тех пор, пока не будут достигнуты области-листья (базовые блоки).

## 9.2. Анализ потока данных на основе областей

### 9.2.2. Вычисление передаточных функций

- ◇ Для анализа потока данных с использованием итеративного алгоритма в базовых блоках потребовалась замкнутость структуры потока данных относительно операции *композиции* функций.
- ◇ Для анализа потока данных на основе областей к передаточным функциям применяется уже не только операция композиции, но еще две операции, позволяющие вычислять передаточные функции для областей по передаточным функциям для их подобластей:
  - ◇ операция *сбора* (для входов в компоненты подобластей) и
  - ◇ операция *замыкания* (для циклов).
- ◇ Для применимости указанных операций требуется, чтобы структура потока данных (множество передаточных функций) была замкнута относительно трех операций: композиции, сбора и замыкания.

## 9.2. Анализ потока данных на основе областей

### 9.2.2. Вычисление передаточных функций

#### ◇ 1. Замкнутость относительно композиции

◇ *Замкнутость* множества  $\mathcal{F}$  относительно композиции означает, что композиция двух передаточных функций, принадлежащих множеству  $\mathcal{F}$ , является передаточной функцией, принадлежащей множеству  $\mathcal{F}$ .

◇ **Утверждение.** Множество  $\mathcal{GK}$  передаточных функций вида *gen-kill*, замкнуто относительно композиции:

если  $f_1 \in \mathcal{GK}$   $f_2 \in \mathcal{GK}$ , а  $f = f_1 \circ f_2$ , то и  $f \in \mathcal{GK}$

**Доказательство.**

$$\begin{aligned}(f_2 \circ f_1)(x) &= \text{gen}_2 \cup ((\text{gen}_1 \cup (x - \text{kill}_1)) - \text{kill}_2) = \\ &= \text{gen}_2 \cup (\text{gen}_1 - \text{kill}_2) \cup (x - (\text{kill}_1 \cup \text{kill}_2)) = \\ &= \text{gen} \cup (x - \text{kill}),\end{aligned}$$

$$\text{gen} = \text{gen}_2 \cup (\text{gen}_1 - \text{kill}_2) \quad \text{kill} = \text{kill}_1 \cup \text{kill}_2.$$

## 9.2. Анализ потока данных на основе областей

### 9.2.2. Вычисление передаточных функций

#### ◇ 2. Операция сбора

- ◇ Операция *сбора*  $\wedge_{\mathcal{F}}$  на множестве передаточных функций  $\mathcal{F}$  определяется с помощью операции  $\wedge$  сбора значений потока данных следующим образом:

$$(f_1 \wedge_{\mathcal{F}} f_2)(x) = f_1(x) \wedge f_2(x),$$

- ◇ Множество передаточных функций  $\mathcal{F}$  *замкнуто относительно операции сбора*  $\wedge_{\mathcal{F}}$  если для любых двух передаточных функций  $f_1 \in \mathcal{F}$  и  $f_2 \in \mathcal{F}$ , их сбор  $f = f_1 \wedge_{\mathcal{F}} f_2 \in \mathcal{F}$ .
- ◇ **Замечание.** Множество передаточных функций  $\mathcal{F}$ , замкнутое относительно операции сбора  $\wedge_{\mathcal{F}}$  является полурешеткой с операцией сбора  $\wedge_{\mathcal{F}}$ .

## 9.2. Анализ потока данных на основе областей

### 9.2.2. Вычисление передаточных функций

#### ◇ 3. Замкнутость относительно операции сбора

- ◇ **Утверждение.** Множество  $\mathcal{GK}$  передаточных функций вида *gen-kill*, замкнуто относительно операции сбора  $\wedge_{\mathcal{GK}}$

**Доказательство:**

$$\begin{aligned}(f_1 \wedge_{\mathcal{GK}} f_2)(x) &= f_1(x) \wedge f_2(x) = \\ &= gen_1 \cup (x - kill_1) \cup gen_2 \cup (x - kill_2) = \\ &= (gen_1 \cup gen_2) \cup (x - (kill_1 \cap kill_2)) = \\ &= gen \cup (x - kill),\end{aligned}$$

$$gen = gen_1 \cup gen_2, \quad kill = kill_1 \cap kill_2.$$

## 9.2. Анализ потока данных на основе областей

### 9.2.2. Вычисление передаточных функций

#### ◇ 4. Операция замыкания

◇ Пусть  $f$  – передаточная функция тела цикла.

Тогда двум итерациям цикла будет соответствовать функция

$$f^2(x) = f \wedge_{\mathcal{F}} f,$$

а  $n$  итерациям цикла – функция

$$f^n = f^{n-1} \wedge_{\mathcal{F}} f.$$

Если количество итераций цикла неизвестно, его передаточная функция представляется как *замыкание*  $f$ .

◇ Пусть  $I$  – тождественная функция. Тогда  $f^0 = I$ ,  $f^1 = f$

◇ *Замыканием* передаточной функции  $f \in \mathcal{F}$  называется функция  $f^*$ , определяемая формулой

$$f^* = I \wedge_{\mathcal{F}} \bigwedge_{n>0} f^n$$

## 9.2. Анализ потока данных на основе областей

### 9.2.2. Вычисление передаточных функций

#### ◇ 5. Замкнутость относительно операции замыкания

◇ Множество передаточных функций  $\mathcal{F}$  замкнуто относительно операции замыкания.

◇ **Утверждение.** Множество  $\mathcal{GK}$  передаточных функций вида *gen-kill* замкнуто относительно операции замыкания:

если  $\forall f \in \mathcal{GK}$  то и  $f^* \in \mathcal{GK}$ .

**Доказательство:**

$$\begin{aligned} f^2(x) &= f(f(x)) = \text{gen} \cup (\text{gen} \cup (x - \text{kill}) - \text{kill}) = \\ &= (\text{gen} \cup \text{gen}) \cup (x - (\text{kill} \cup \text{kill})) = \text{gen} \cup (x - \text{kill}). \end{aligned}$$

$$f^n(x) = \text{gen} \cup (x - \text{kill}) \text{ (по индукции)}$$

$$\begin{aligned} f^*(x) &= I \wedge f^1(x) \wedge f^2(x) \wedge \dots = x \cup (\text{gen} \cup (x - \text{kill})) = \\ &= \text{gen} \cup (x \cup (x - \text{kill})) = \text{gen} \cup x \end{aligned}$$

$$(x - \text{kill}) \subseteq x$$



## 9.2. Анализ потока данных на основе областей

### 9.2.2. Вычисление передаточных функций

#### ◇ 5. Замкнутость относительно операции замыкания

◇ Итак, если  $f(x) = (gen \cup (x - kill))$ , то  $f^*(x) = gen \cup x$

Следовательно, для  $\forall f \in \mathcal{GK}$

$$gen_{f^*} = gen_f$$

$$kill_{f^*} = \emptyset$$

Таким образом, циклы не влияют на анализ достигающих определений

## 9.2. Анализ потока данных на основе областей

### 9.2.2. Вычисление передаточных функций

◇ Итак, формулы для функций вида  $\mathcal{GK}$ :

Если  $f_1(x) = gen_1 \cup (x - kill_1)$  и  $f_2(x) = gen_2 \cup (x - kill_2)$ , то

(1) **Композиция:**

$$(f_2 \circ f_1)(x) = gen^\circ \cup (x - kill^\circ),$$

$$\text{где } gen^\circ = gen_2 \cup (gen_1 - kill_2), \quad kill^\circ = kill_1 \cup kill_2.$$

(2) **Сбор:**

$$(f_1 \wedge f_2)(x) = gen^\wedge \cup (x - kill^\wedge),$$

$$\text{где } gen^\wedge = gen_1 \cup gen_2, \quad kill^\wedge = kill_1 \cap kill_2$$

**Замыкание:**

Если  $f(x) = (gen \cup (x - kill))$ , то  $f^*(x) = gen^* \cup (x - kill^*)$ ,

$$\text{где } gen^* = gen, \quad kill^* = \emptyset$$

## 9.2. Анализ потока данных на основе областей

### 9.2.3. Алгоритм анализа на основе областей

- ◇ **Вход:** структура потока данных, замкнутая относительно операций композиции, сбора и замыкания, приводимый граф потока управления  $G$ .
- ◇ **Выход:** значения потока данных  $In[B]$  для каждого блока  $B \in G$ .
- ◇ **Метод:** выполнить следующие действия:
  - 1) С помощью алгоритма 9.1.3 определить области и их топологический порядок (снизу-вверх)
  - 2) *Восходящий просмотр* для вычисления передаточных функций областей  $R_1, R_2, \dots, R_n$ : ( $R_n$  – область самого верхнего уровня).
    - 2а)  $R$  – область-лист, соответствующая блоку  $B$ :

$$f_{R,In[B]} = I, f_{R,Out[B]} = f_B.$$

## 9.2. Анализ потока данных на основе областей

### 9.2.3. Алгоритм анализа на основе областей

◇ **Метод:** выполнить следующие действия:

- 2) *Восходящий просмотр* для вычисления передаточных функций областей  $R_1, R_2, \dots, R_n$ :
- 2b)  $R$  – область-тело:

**for each**  $S \in R$  (в топологическом порядке) {

$$f_{R,In}[S] = \bigwedge_{B \in Pred(S)} f_{R,Out}[B]$$

/\* Если  $S$  – заголовок области  $R$ , то сбор по «ничему», т.е.  $f_{R,In}[S] = I$ ,  
если у  $S$  один предок – то без сбора, просто  $f_{R,In}[S] = f_{S,Out}[Pred(S)]$ . \*/

**for each** (выходной блок  $B \in S$ )  $f_{R,Out}[B] = f_{S,Out}[B] \circ f_{R,In}[S]$ ;

}

## 9.2. Анализ потока данных на основе областей

### 9.2.3. Алгоритм анализа на основе областей

◇ **Метод:** выполнить следующие действия:

2) *Восходящий просмотр* для вычисления передаточных функций областей  $R_1, R_2, \dots, R_n$ :

2с)  $R$  – область-цикл:

// Пусть  $S$  – область тела цикла, непосредственно вложенная в  $R$ ,  
// т.е.  $S$  представляет собой  $R$  без обратных ребер из  $R$  в заголовки  $R$

$$f_{R,In[S]} = \left( \bigwedge_{B \in Pred(S)} f_{S,Out[B]} \right)^*$$

// Сбор выполняется по предшественникам  $B$  заголовка  $S$  в  $R$ ,  
// т.е. по всем обратным ребрам цикла.

**for each** (выходной блок  $B \in S$ )

$$f_{R,Out[B]} = f_{S,Out[B]} \circ f_{R,In[S]}$$

## 9.2. Анализ потока данных на основе областей

### 9.2.3. Алгоритм анализа на основе областей

◇ **Метод:** выполнить следующие действия:

2) *Восходящий просмотр* для вычисления передаточных функций областей  $R_1, R_2, \dots, R_n$ :

2с)  $R$  – область-цикл:

// Пусть  $S$  – область тела цикла, непосредственно вложенная в  $R$ ,  
// т.е.  $S$  представляет собой  $R$  без обратных ребер из  $R$  в заголовки  $R$

$$\text{I)} \quad f_{R,In[S]} = \left( \bigwedge_{B \in Pred(S)} f_{S,Out[B]} \right)^*$$

// Сбор выполняется по предшественникам  $B$  заголовка  $S$  в  $R$ ,  
// т.е. по всем обратным ребрам цикла.

II) **for each** (выходной блок  $B \in S$ )

$$f_{R,Out[B]} = f_{S,Out[B]} \circ f_{R,In[S]}$$

// После того, как вычислили *In* у  $R$ , на шаге (I),  
// нужно получить еще *Out*'ы для области-цикла

## 9.2. Анализ потока данных на основе областей

### 9.2.3. Алгоритм анализа на основе областей

◇ **Метод:** выполнить следующие действия:

3) *Нисходящий просмотр* для вычисления значений  $In[R]$  в начале каждой области:

$$In[R_n] = Out[Entry];$$

**for each region**  $R$  (в нисходящем порядке)

$$In[R] = f_{R', In[R]}(In[R']),$$

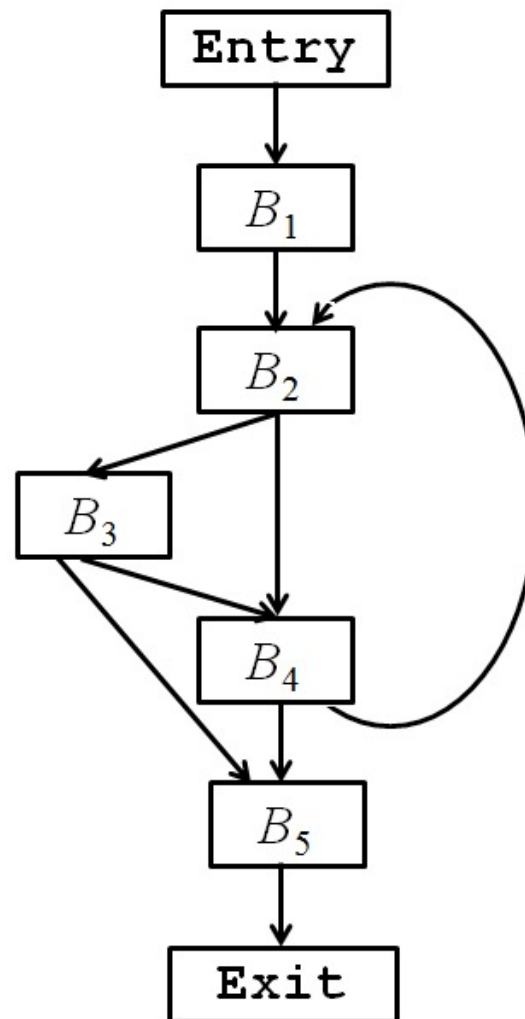
где  $R'$  – область, непосредственно охватывающая область  $R$

## 9.2. Анализ потока данных на основе областей

### 9.2.4. Пример: применение алгоритма 9.2.3

- ◇ Применим алгоритм 9.2.3 для поиска достигающих определений с помощью анализа на основе областей в рассматриваемой программе.

$B_1$	$i \leftarrow -m, 1$	$d_1$
	$j \leftarrow n$	$d_2$
	$a \leftarrow u1$	$d_3$
$B_2$	$i \leftarrow +i, 1$	$d_4$
$B_3$	$a \leftarrow u2$	$d_5$
$B_4$	$j \leftarrow u3$	$d_6$
$B_5$	. . . .	





## 9.2. Анализ потока данных на основе областей

### 9.2.4. Пример: применение алгоритма 9.2.3

◇ **Замечание:** поиск достигающих определений обычным способом (с помощью итерационного алгоритма, который изучался в прошлом семестре) дает следующие результаты

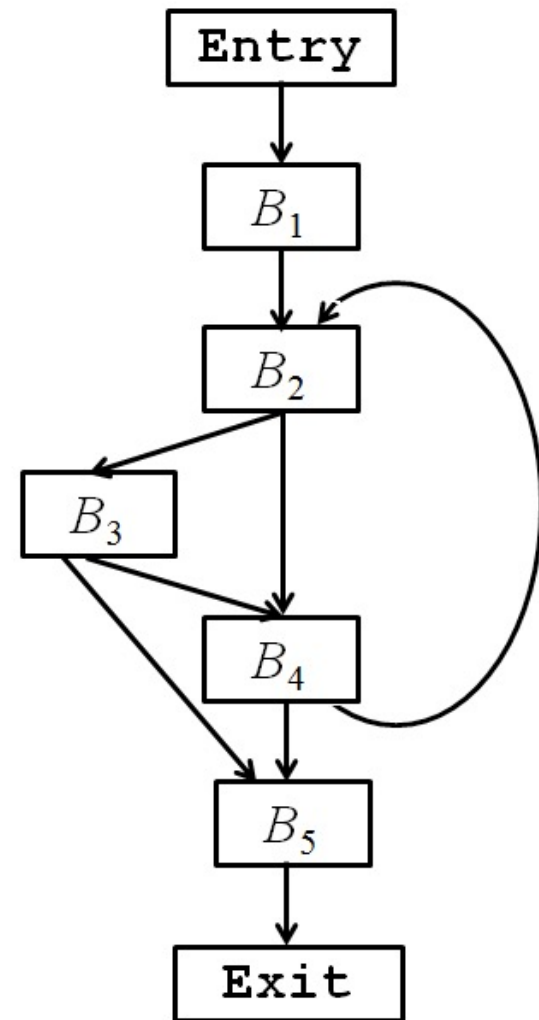
$$In[B_1] = \emptyset$$

$$In[B_2] = \{d_1, d_2, d_3, d_4, d_5, d_6\}$$

$$In[B_3] = \{d_2, d_3, d_4, d_5, d_6\}$$

$$In[B_4] = \{d_2, d_3, d_4, d_5, d_6\}$$

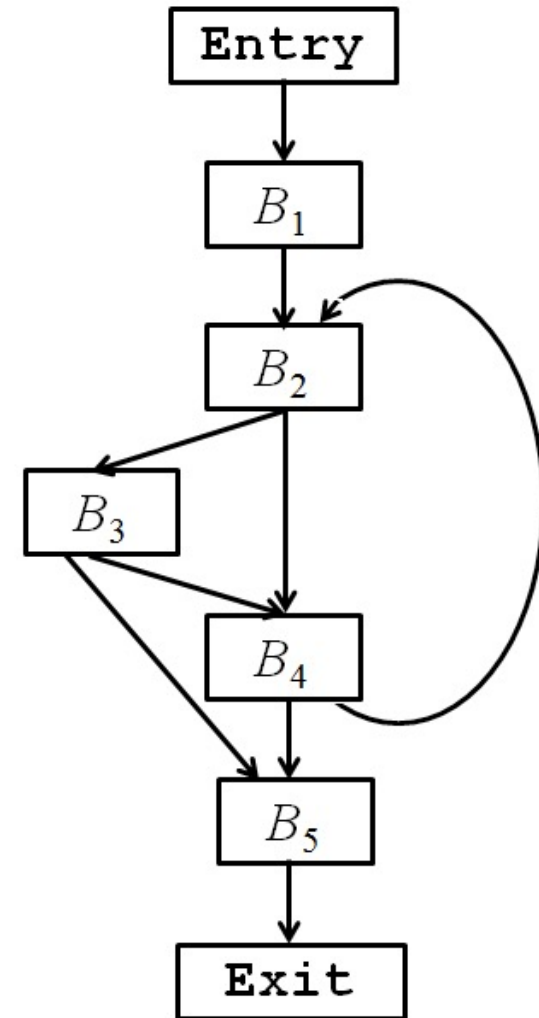
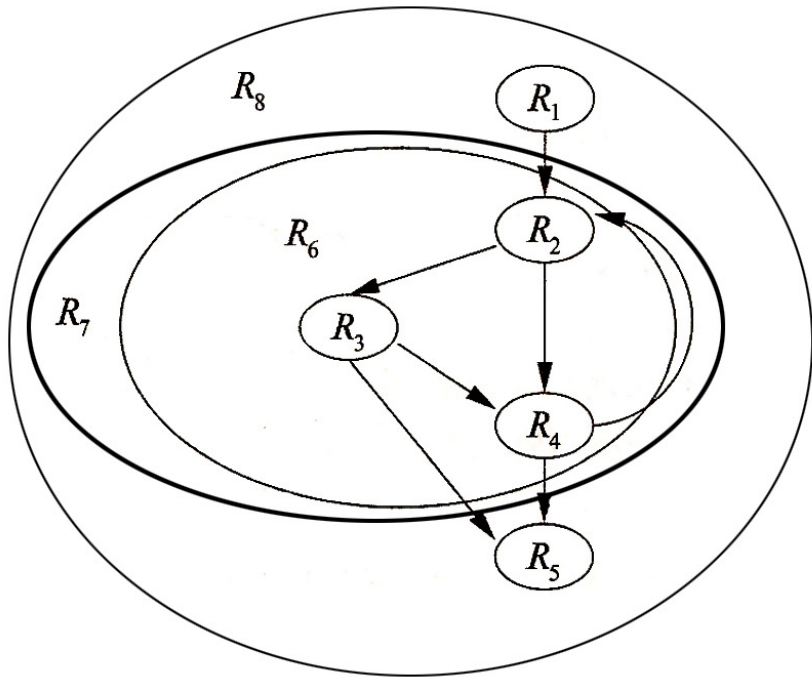
$$In[B_5] = \{d_2, d_3, d_4, d_5, d_6\}$$



## 9.2. Анализ потока данных на основе областей

### 9.2.4. Пример: применение алгоритма 9.2.3

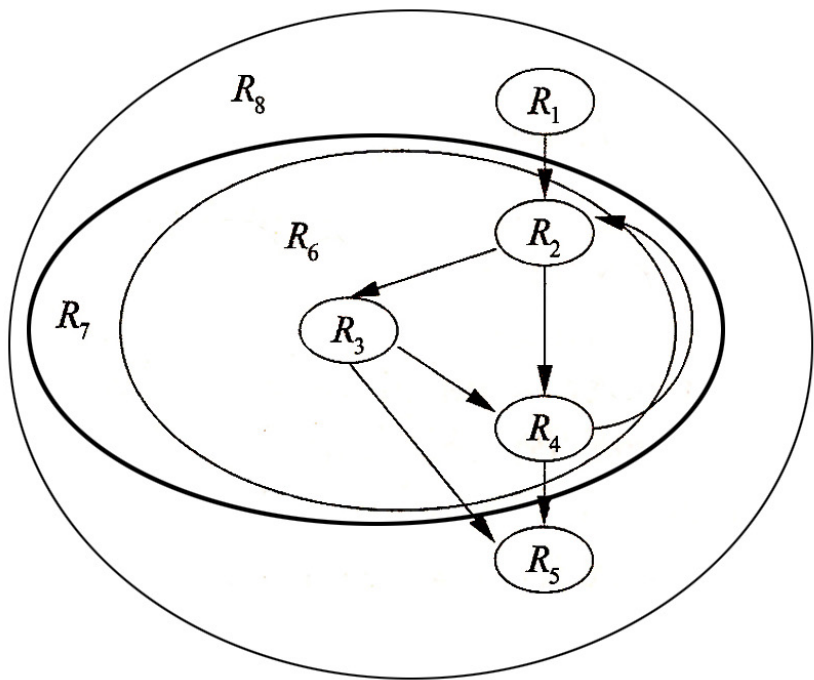
- ◇ Применим алгоритм 9.2.3 для поиска достигающих определений с помощью анализа на основе областей в рассматриваемой программе.
- ◇ **Шаг 1:** с помощью алгоритма 9.1.3 определим области и пронумеруем их в восходящем топологическом порядке (слайды 20 – 27): получим области  $R_1, R_2, R_3, R_4, R_5, R_6, R_7, R_8$



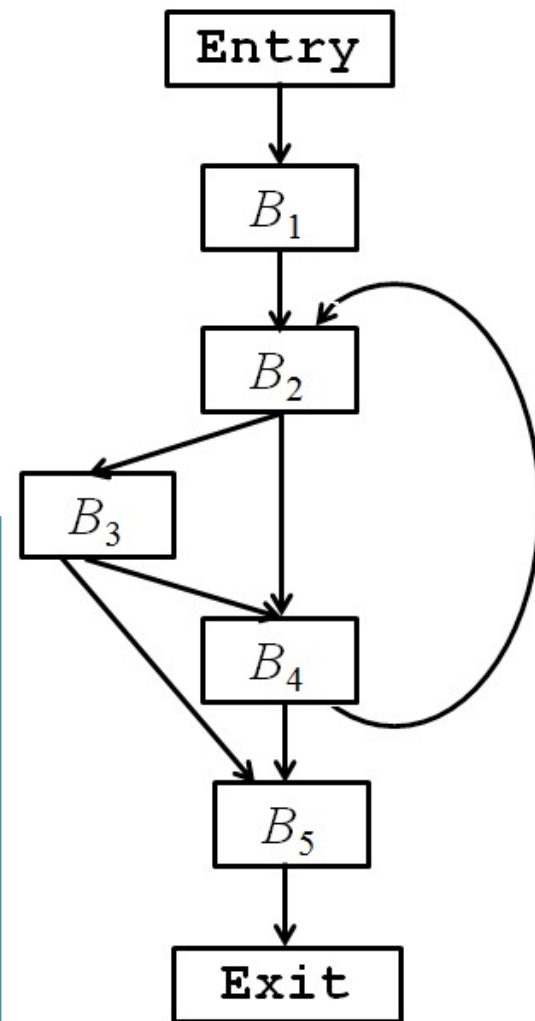
## 9.2. Анализ потока данных на основе областей

### 9.2.4. Пример: применение алгоритма 9.2.3

- ◇ Применим алгоритм 9.2.3 для поиска достигающих определений с помощью анализа на основе областей в рассматриваемой программе.
- ◇ **Шаг 1:** с помощью алгоритма 9.1.3 определим области и пронумеруем их в восходящем топологическом порядке (слайды 20 – 27): получим области  $R_1, R_2, R_3, R_4, R_5, R_6, R_7, R_8$



Области  $R_1, R_2, R_3, R_4, R_5$  являются областями-листьями и соответствуют базовым блокам  $B_1, B_2, B_3, B_4, B_5$



## 9.2. Анализ потока данных на основе областей

### 9.2.4. Пример: применение алгоритма 9.2.3

◇ **Шаг 2:** *Восходящий просмотр* для вычисления передаточных функций областей  $R_1, R_2, R_3, R_4, R_5, R_6, R_7, R_8$

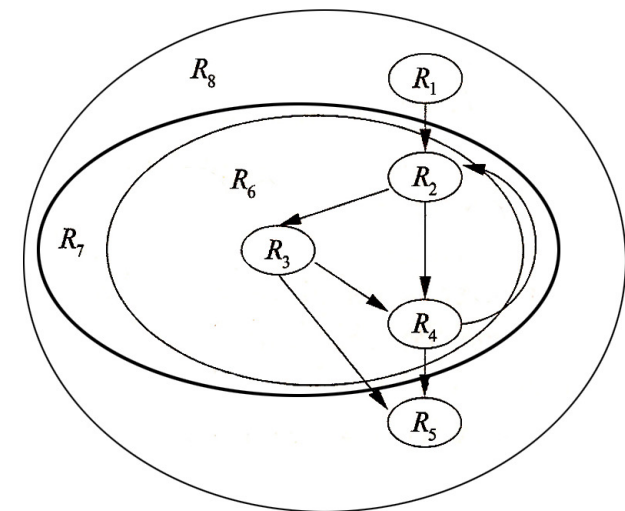
**Шаг 2а):** вычисление передаточных функций областей-листьев

$R_1, R_2, R_3, R_4, R_5$

$$f_{R_i, In[B_i]}(x) = I,$$

$$f_{R_i, Out[B_i]}(x) = f_{B_i}(x) = gen_{B_i} \cup (x - kill_{B_i})$$

$B$	$B_1$	$B_2$	$B_3$	$B_4$	$B_5$
$gen_B$	$\{d_1, d_2, d_3\}$	$\{d_4\}$	$\{d_5\}$	$\{d_6\}$	$\emptyset$
$kill_B$	$\{d_4, d_5, d_6\}$	$\{d_1\}$	$\{d_3\}$	$\{d_2\}$	$\emptyset$



## 9.2. Анализ потока данных на основе областей

### 9.2.4. Пример: применение алгоритма 9.2.3

- ◇ **Шаг 2b)**: вычисление передаточной функции области-тела  $R_6$   
**Область  $R_6$**  состоит из подобластей  $R_2$ ,  $R_3$  и  $R_4$ . Эти подобласти обрабатываются в топологическом порядке, построенном на шаге 1:  $R_2$ ,  $R_3$ ,  $R_4$ .

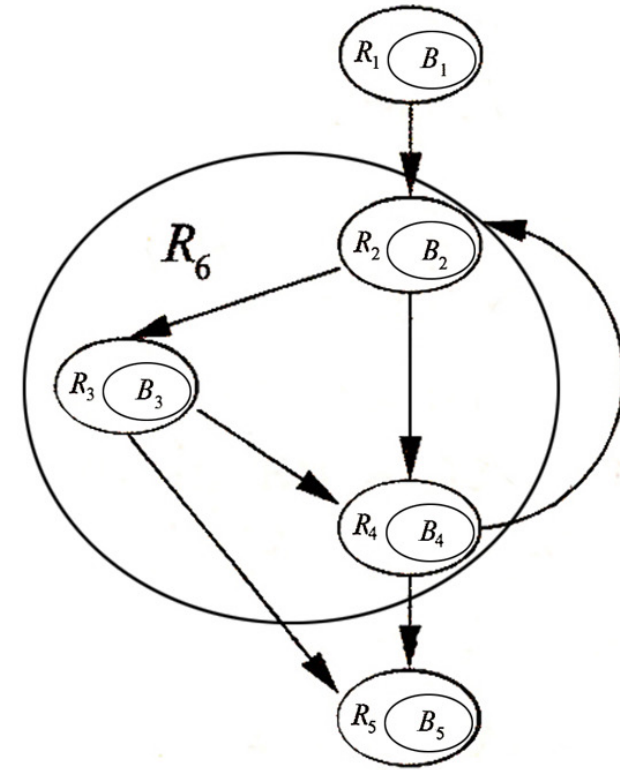
**Подобласть  $R_2$** : у  $R_2$  нет предшественников в пределах  $R_6$ , так как обратное ребро  $R_4 \rightarrow R_2$  не принадлежит  $R_6$ . Следовательно

$$f_{R_6, In[R_2]} = f_{R_2, In[B_2]} = I,$$

$$f_{R_6, Out[B_2]} = f_{R_2, Out[B_2]} \circ f_{R_6, In[R_2]} = f_{B_2} \circ I = f_{B_2}$$

$$gen_{R_6, In[R_2]} = \emptyset, kill_{R_6, In[R_2]} = \emptyset$$

$$gen_{R_6, Out[R_2]} = gen_{B_2} = \{d_4\}, kill_{R_6, Out[R_2]} = kill_{B_2} = \{d_1\}$$

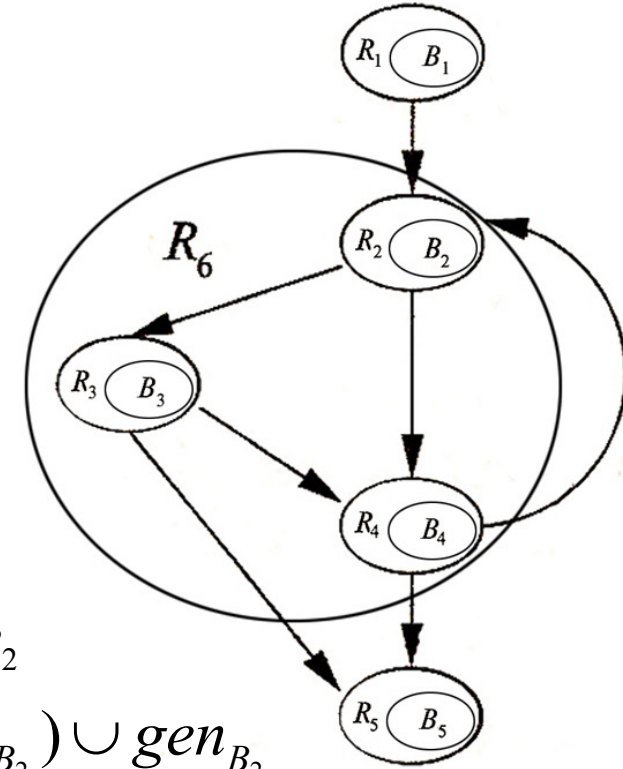


## 9.2. Анализ потока данных на основе областей

### 9.2.4. Пример: применение алгоритма 9.2.3

◇ **Шаг 2b):** вычисление передаточной функции области-тела  $R_6$

**Подобласть  $R_3$ :** у  $R_3$  в пределах  $R_6$  один предшественник  $R_2$ . Следовательно



$$f_{R_6, In[R_3]} = f_{R_6, Out[B_2]} = f_{B_2}$$

$$f_{R_6, Out[B_3]} = f_{R_3, Out[B_3]} \circ f_{R_6, In[R_3]} = f_{B_3} \circ f_{B_2}$$

$$f_{R_6, In[R_3]}(x) = f_{R_6, Out[B_2]}(x) = f_{B_2}(x) = (x - kill_{B_2}) \cup gen_{B_2}$$

$$f_{R_6, Out[B_3]}(x) = f_{R_3, Out[B_3]} \circ f_{R_6, In[R_3]}(x) = (f_{B_3} \circ f_{B_2})(x) =$$

$$(gen_{B_3} \cup (gen_{B_2} - kill_{B_3})) \cup (x - (kill_{B_3} \cup kill_{B_2}))$$

$$gen_{R_6, In[B_3]} = gen_{B_2} = \{d_4\}, kill_{R_6, In[B_3]} = kill_{B_2} = \{d_1\}$$

$$gen_{R_6, Out[B_3]} = gen_{B_3} \cup (gen_{B_2} - kill_{B_3}) = \{d_5\} \cup (\{d_4\} - \{d_3\}) = \{d_4, d_5\}$$

$$kill_{R_6, Out[B_3]} = kill_{B_3} \cup kill_{B_2} = \{d_3\} \cup \{d_1\} = \{d_1, d_3\}$$

## 9.2. Анализ потока данных на основе областей

### 9.2.4. Пример: применение алгоритма 9.2.3

◇ **Шаг 2b)**: вычисление передаточной функции области-тела  $R_6$

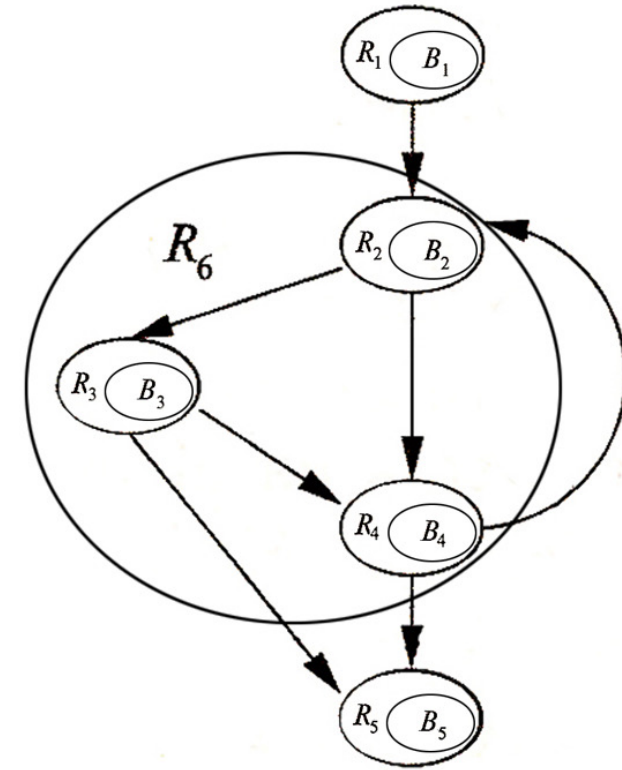
**Подобласть  $R_4$** : у  $R_4$  в пределах  $R_6$  два предшественника  $R_2$  и  $R_3$ . Следовательно

$$f_{R_6, In[R_4]} = f_{R_6, Out[B_2]} \wedge f_{R_6, Out[B_3]} =$$

$$= f_{B_2} \wedge f_{R_6, Out[B_3]}$$

$$f_{R_6, Out[B_4]} = f_{R_4, Out[B_4]} \circ f_{R_6, In[R_4]} =$$

$$= f_{B_4} \circ f_{R_6, In[R_4]}$$



## 9.2. Анализ потока данных на основе областей

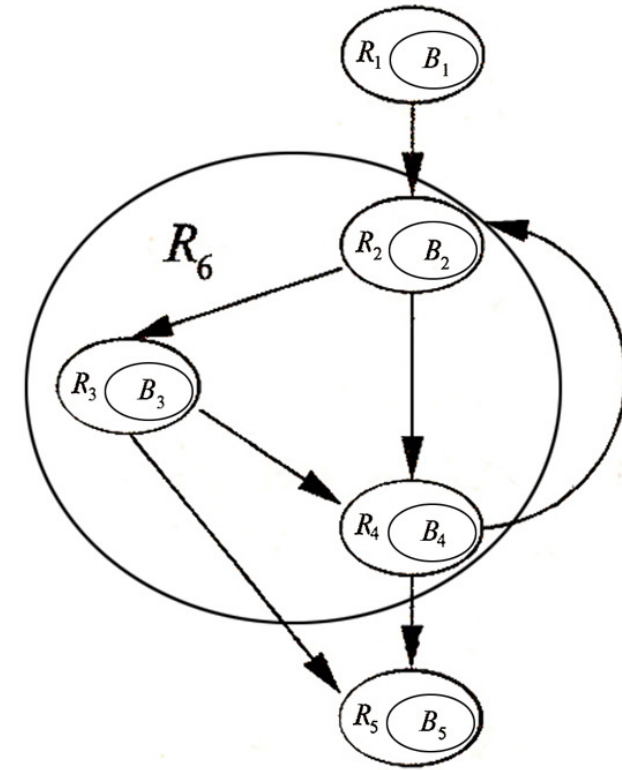
### 9.2.4. Пример: применение алгоритма 9.2.3

◇ **Шаг 2b)**: вычисление передаточной функции области-тела  $R_6$

**Подобласть  $R_4$**

$$\begin{aligned} f_{R_6, In[R_4]}(x) &= (f_{R_6, Out[B_2]} \wedge f_{R_6, Out[B_3]})(x) = \\ &= (f_{B_2} \wedge f_{R_6, Out[B_3]})(x) \end{aligned}$$

$$\begin{aligned} f_{R_6, Out[B_4]}(x) &= (f_{R_4, Out[B_4]} \circ f_{R_6, In[R_4]})(x) = \\ &= (f_{B_4} \circ f_{R_6, In[R_4]})(x) \end{aligned}$$



$$gen_{R_6, In[R_4]} = gen_{B_2} \cup gen_{R_6, Out[B_3]} = \{d_4\} \cup \{d_4, d_5\} = \{d_4, d_5\}$$

$$kill_{R_6, In[R_4]} = kill_{B_2} \cap kill_{R_6, Out[B_3]} = \{d_1\} \cap \{d_1, d_3\} = \{d_1\}$$

$$gen_{R_6, Out[R_4]} = gen_{B_4} \cup (gen_{R_6, In[R_4]} - kill_{B_4})$$

$$= \{d_6\} \cup (\{d_4, d_5\} - \{d_2\}) = \{d_4, d_5, d_6\}$$

$$kill_{R_6, Out[R_4]} = kill_{R_6, In[R_4]} \cup kill_{B_4} = \{d_1\} \cup \{d_2\} = \{d_1, d_2\}$$

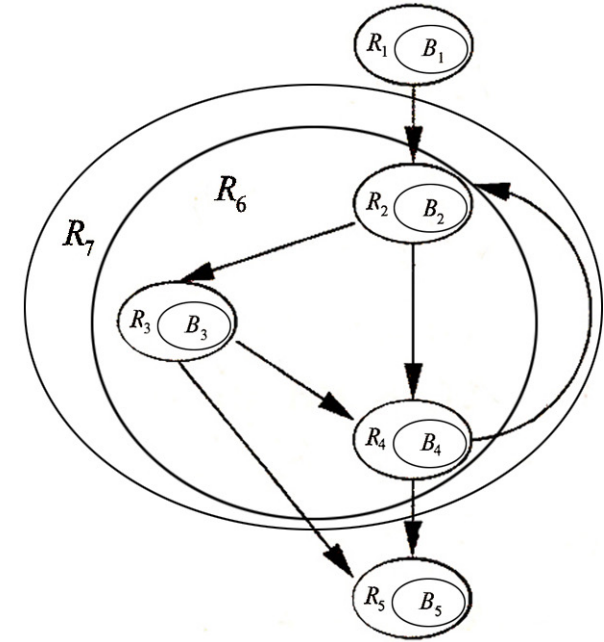


## 9.2. Анализ потока данных на основе областей

### 9.2.4. Пример: применение алгоритма 9.2.3

◆ **Шаг 2с):** вычисление передаточной функции области-цикла  $R_7$

Область  $R_7$  содержит только одну подобласть  $R_6$  (тело цикла). Обратному ребру  $B_4 \rightarrow B_2$  к заголовку  $R_6$  соответствует передаточная функция



$$f_{R_7, In[R_6]} = f_{R_6, Out[B_4]}^*$$

Из области  $R_7$  имеется два выхода – базовые блоки  $B_3$  и  $B_4$ .

Поэтому для получения соответствующих передаточных функций  $R_7$  нужно вычислить композиции  $f_{R_7, In[R_6]}$  с  $f_{R_6, Out[B_3]}$  и с  $f_{R_6, Out[B_4]}$ :

$$f_{R_7, Out[B_4]} = f_{R_6, Out[B_4]} \circ f_{R_7, In[R_6]}$$

$$f_{R_7, Out[B_3]} = f_{R_6, Out[B_3]} \circ f_{R_7, In[R_6]}$$

## 9.2. Анализ потока данных на основе областей

### 9.2.4. Пример: применение алгоритма 9.2.3

◆ Шаг 2с): вычисление передаточной функции области-цикла  $R_7$

(а) На входе

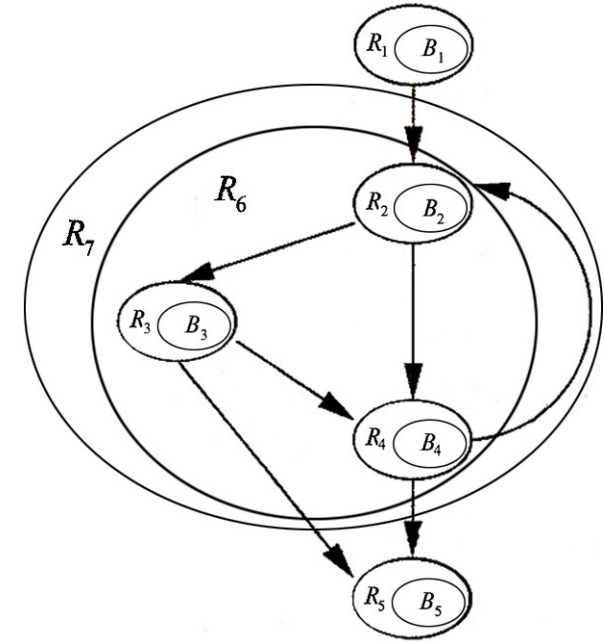
Передаточная функция:

$$f_{R_7, In[R_6]}(x) = f_{R_6, Out[B_4]}^*(x)$$

Множества *gen* и *kill*

$$gen_{R_7, In[R_6]} = gen_{R_6, Out[B_4]} = \{d_4, d_5, d_6\}$$

$$kill_{R_7, In[R_6]} = \emptyset$$



## 9.2. Анализ потока данных на основе областей

### 9.2.4. Пример: применение алгоритма 9.2.3

◆ Шаг 2с): вычисление передаточной функции области-цикла  $R_7$

(b) На выходах

Передаточные функции:

$$f_{R_7, Out[B_4]}(x) = (f_{R_6, Out[B_4]} \circ f_{R_7, In[R_6]})(x)$$

$$f_{R_7, Out[B_3]}(x) = (f_{R_6, Out[B_3]} \circ f_{R_7, In[R_6]})(x)$$

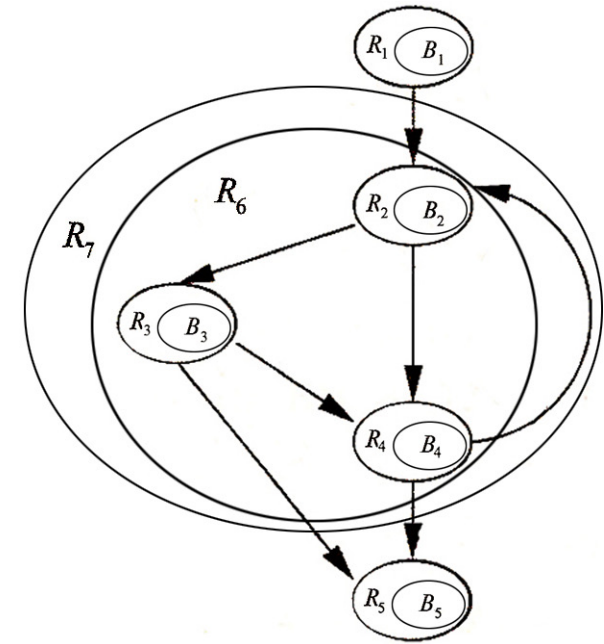
Множества *gen* и *kill*

$$\begin{aligned} gen_{R_7, Out[B_4]} &= gen_{R_6, Out[B_4]} \cup (gen_{R_7, In[R_6]} - kill_{R_6, Out[B_4]}) \\ &= \{d_4, d_5, d_6\} \cup (\{d_4, d_5, d_6\} - \{d_1, d_2\}) = \{d_4, d_5, d_6\} \end{aligned}$$

$$kill_{R_7, Out[B_4]} = kill_{R_7, In[R_6]} \cup kill_{R_6, Out[B_4]} = \emptyset \cup \{d_1, d_2\} = \{d_1, d_2\}$$

$$\begin{aligned} gen_{R_7, Out[B_3]} &= gen_{R_6, Out[B_3]} \cup (gen_{R_7, In[R_6]} - kill_{R_6, Out[B_3]}) \\ &= \{d_4, d_5\} \cup (\{d_4, d_5, d_6\} - \{d_1, d_3\}) = \{d_4, d_5, d_6\} \end{aligned}$$

$$kill_{R_7, Out[B_3]} = kill_{R_7, In[R_6]} \cup kill_{R_6, Out[B_3]} = \emptyset \cup \{d_1, d_3\} = \{d_1, d_3\}$$



## 9.2. Анализ потока данных на основе областей

### 9.2.4. Пример: применение алгоритма 9.2.3

♦ **Шаг 2d)**: вычисление передаточной функции области-тела  $R_8$

Подобластями области  $R_8$  (весь граф потока) являются (в топологическом порядке)

$R_1$ ,  $R_7$  и  $R_5$ .

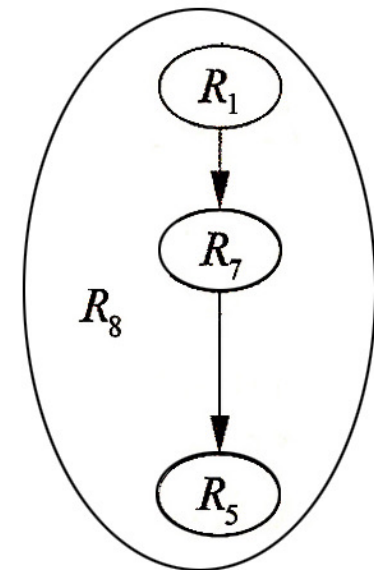
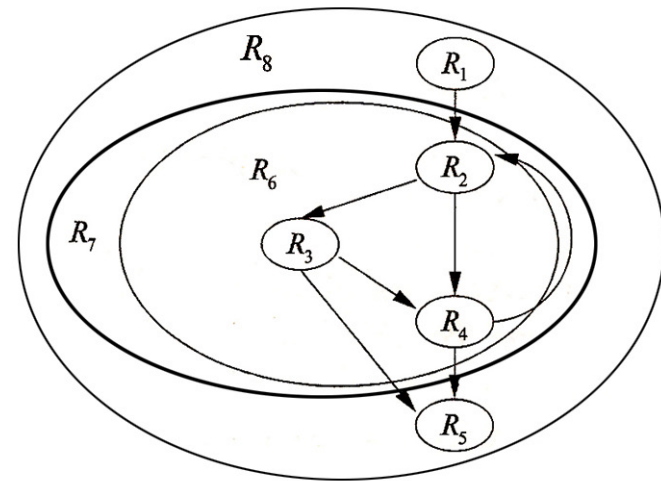
Передаточные функции:

1) для  $R_1$ :

$$f_{R_8, In[R_1]}(x) = I(x) = x$$

$$f_{R_8, Out[B_1]}(x) = f_{B_1}(x)$$

$$gen_{R_8, In[R_1]} = kill_{R_8, In[R_1]} = \emptyset$$



## 9.2. Анализ потока данных на основе областей

### 9.2.4. Пример: применение алгоритма 9.2.3

♦ **Шаг 2d)**: вычисление передаточной функции области-цикла  $R_8$

**2) для  $R_7$ :**

Заголовок  $R_7$  (блок  $B_2$ ) имеет единственного предшественника,  $B_1$ .

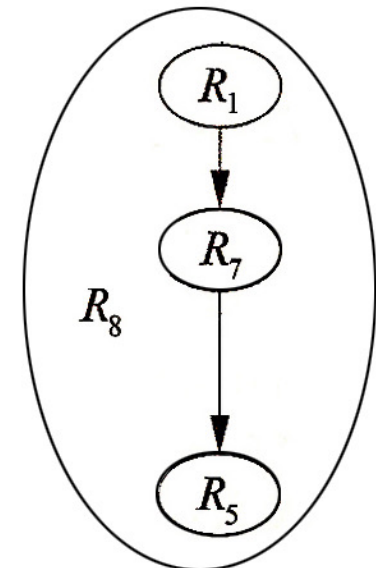
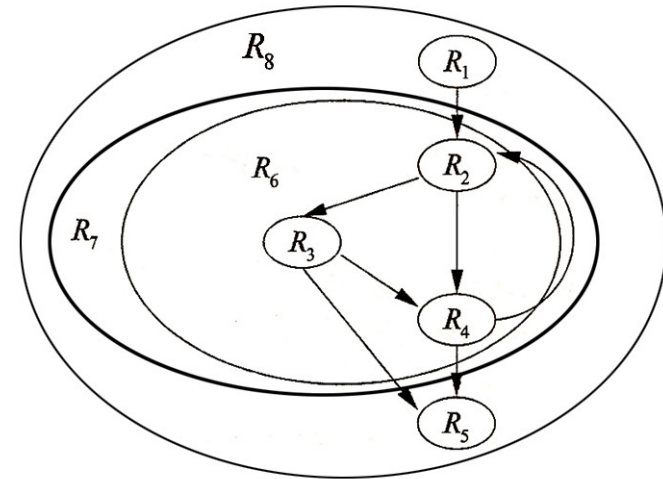
У  $R_7$  два выходных ребра (в блоках  $B_3$  и  $B_4$ ).

Передаточные функции:

$$f_{R_8, In[R_7]} = f_{R_8, Out[B_1]} = f_{R_1, Out[B_1]} = f_{B_1}$$

$$f_{R_8, Out[B_3]} = f_{R_7, Out[B_3]} \circ f_{R_8, In[R_7]} = f_{R_7, Out[B_3]} \circ f_{B_1}$$

$$f_{R_8, Out[B_4]} = f_{R_7, Out[B_4]} \circ f_{R_8, In[R_7]} = f_{R_7, Out[B_4]} \circ f_{B_1}$$



## 9.2. Анализ потока данных на основе областей

### 9.2.4. Пример: применение алгоритма 9.2.3

◆ Шаг 2d): вычисление передаточной функции области-цикла  $R_8$

2) для  $R_7$ :

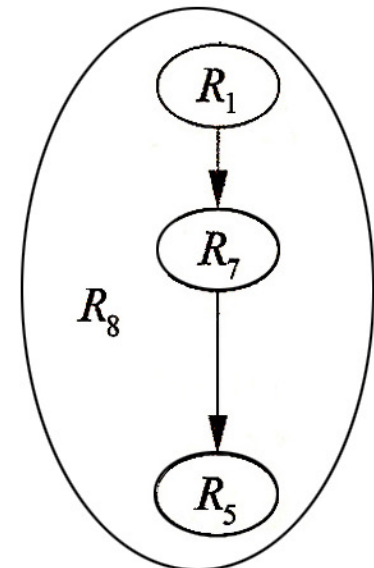
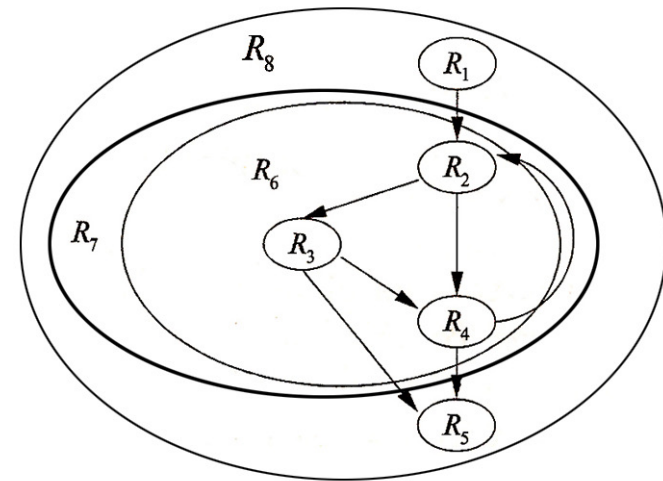
Множества *gen* и *kill*

$$gen_{R_8, In[R_7]} = gen_{B_1} = \{d_1, d_2, d_3\}$$

$$kill_{R_8, In[R_7]} = kill_{B_1} = \{d_4, d_5, d_6\}$$

$$\begin{aligned} gen_{R_8, Out[B_3]} &= gen_{R_7, Out[B_3]} \cup (gen_{B_1} - kill_{R_7, Out[B_3]}) = \\ &= \{d_4, d_5, d_6\} \cup (\{d_1, d_2, d_3\} - \{d_1, d_3\}) = \{d_2, d_4, d_5, d_6\} \end{aligned}$$

$$\begin{aligned} kill_{R_8, Out[B_3]} &= kill_{R_7, Out[B_3]} \cup kill_{B_1} = \\ &= \{d_1, d_3\} \cup \{d_4, d_5, d_6\} = \{d_1, d_3, d_4, d_5, d_6\} \end{aligned}$$



## 9.2. Анализ потока данных на основе областей

### 9.2.4. Пример: применение алгоритма 9.2.3

♦ Шаг 2d): вычисление передаточной функции области-цикла  $R_8$

3) для  $R_5$ : У заголовка  $R_5$  (блок  $B_5$ ) два предшественника ( $B_3$  и  $B_4$ ), причем  $f_{B_5} = I$ .

Передаточные функции для  $R_5$ :

$$f_{R_8, In[B_5]}(x) = (f_{R_8, Out[B_3]} \wedge f_{R_8, Out[B_4]})(x)$$

$$f_{R_8, Out[B_5]}(x) = f_{R_8, In[B_5]}(x)$$

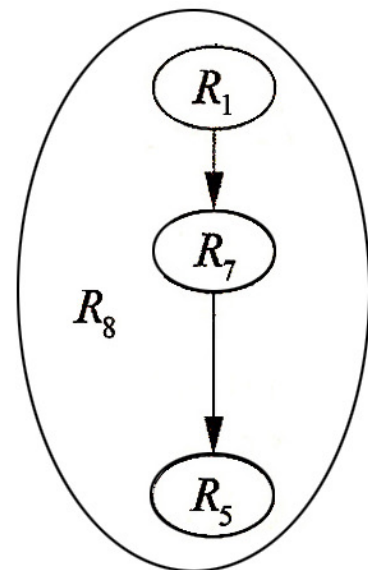
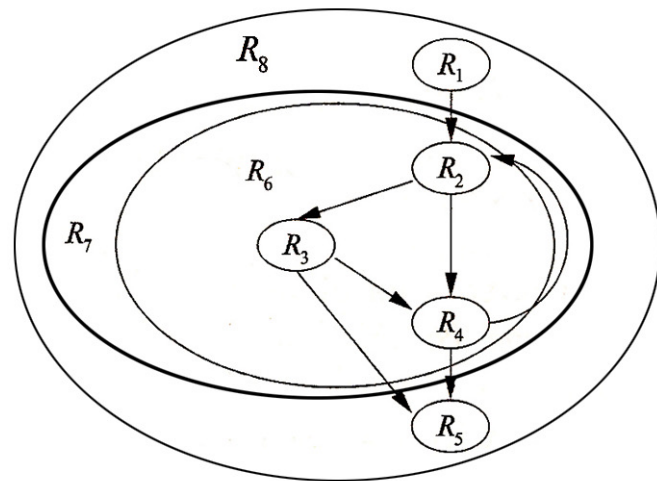
Множества *gen* и *kill* (см 9.2.2.3)

$$\begin{aligned} gen_{R_8, In[B_5]} &= gen_{R_8, Out[B_3]} \cup gen_{R_8, Out[B_4]} = \\ &= \{d_2, d_4, d_5, d_6\} \cup \{d_3, d_4, d_5, d_6\} = \{d_2, d_3, d_4, d_5, d_6\} \end{aligned}$$

$$\begin{aligned} kill_{R_8, In[B_5]} &= kill_{R_8, Out[B_3]} \cap kill_{R_8, Out[B_4]} = \\ &= \{d_1, d_3, d_4, d_5, d_6\} \cap \{d_1, d_2, d_4, d_5, d_6\} = \{d_1, d_4, d_5, d_6\} \end{aligned}$$

$$gen_{R_8, Out[B_5]} = gen_{R_8, In[B_5]} = \{d_2, d_3, d_4, d_5, d_6\}$$

$$kill_{R_8, Out[B_5]} = kill_{R_8, In[B_5]} = \{d_1, d_4, d_5, d_6\}$$



## 9.2. Анализ потока данных на основе областей

### 9.2.4. Пример: применение алгоритма 9.2.3

#### ◇ Результаты шага 2

	ПЕРЕДАТОЧНАЯ ФУНКЦИЯ	<i>gen</i>	<i>kill</i>
$R_6$	$f_{R_6,IN[R_2]} = I$	$\emptyset$	$\emptyset$
	$f_{R_6,OUT[B_2]} = f_{R_2,OUT[B_2]} \circ f_{R_6,IN[R_2]}$	$\{d_4\}$	$\{d_1\}$
	$f_{R_6,IN[R_3]} = f_{R_6,OUT[B_2]}$	$\{d_4\}$	$\{d_1\}$
	$f_{R_6,OUT[B_3]} = f_{R_3,OUT[B_3]} \circ f_{R_6,IN[R_3]}$	$\{d_4, d_5\}$	$\{d_1, d_3\}$
	$f_{R_6,IN[R_4]} = f_{R_6,OUT[B_2]} \wedge f_{R_6,OUT[B_3]}$	$\{d_4, d_5\}$	$\{d_1\}$
	$f_{R_6,OUT[B_4]} = f_{R_4,OUT[B_4]} \circ f_{R_6,IN[R_4]}$	$\{d_4, d_5, d_6\}$	$\{d_1, d_2\}$
$R_7$	$f_{R_7,IN[R_6]} = f_{R_6,OUT[B_4]}^*$	$\{d_4, d_5, d_6\}$	$\emptyset$
	$f_{R_7,OUT[B_3]} = f_{R_6,OUT[B_3]} \circ f_{R_7,IN[R_6]}$	$\{d_4, d_5, d_6\}$	$\{d_1, d_3\}$
	$f_{R_7,OUT[B_4]} = f_{R_6,OUT[B_4]} \circ f_{R_7,IN[R_6]}$	$\{d_4, d_5, d_6\}$	$\{d_1, d_2\}$
$R_8$	$f_{R_8,IN[R_1]} = I$	$\emptyset$	$\emptyset$
	$f_{R_8,OUT[B_1]} = f_{R_1,OUT[B_1]}$	$\{d_1, d_2, d_3\}$	$\{d_4, d_5, d_6\}$
	$f_{R_8,IN[R_7]} = f_{R_8,OUT[B_1]}$	$\{d_1, d_2, d_3\}$	$\{d_4, d_5, d_6\}$
	$f_{R_8,OUT[B_3]} = f_{R_7,OUT[B_3]} \circ f_{R_8,IN[R_7]}$	$\{d_2, d_4, d_5, d_6\}$	$\{d_1, d_3, d_4, d_5, d_6\}$
	$f_{R_8,OUT[B_4]} = f_{R_7,OUT[B_4]} \circ f_{R_8,IN[R_7]}$	$\{d_3, d_4, d_5, d_6\}$	$\{d_1, d_2, d_4, d_5, d_6\}$
	$f_{R_8,IN[R_5]} = f_{R_8,OUT[B_3]} \wedge f_{R_8,OUT[B_4]}$	$\{d_2, d_3, d_4, d_5, d_6\}$	$\{d_1, d_4, d_5, d_6\}$
	$f_{R_8,OUT[B_5]} = f_{R_5,OUT[B_5]} \circ f_{R_8,IN[R_5]}$	$\{d_2, d_3, d_4, d_5, d_6\}$	$\{d_1, d_4, d_5, d_6\}$



## 9.2. Анализ потока данных на основе областей

### 9.2.4. Пример: применение алгоритма 9.2.3

◇ **Шаг 3:** *Нисходящий просмотр* для вычисления значений  $In[R]$  в начале каждой области:

1) Для области  $R_8$

$$In[R_8] = \emptyset, \text{ (граничное условие).}$$

2) Для подобластей области  $R_8$  :

2.1) область  $R_1$

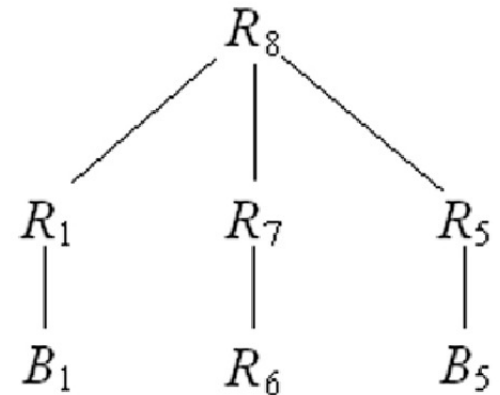
$$In[R_1] = f_{R_8, In[R_1]}(In[R_8]) = I(In[R_8]) = In[R_8] = \emptyset$$

2.2) область  $R_7$

$$\begin{aligned} In[R_7] &= f_{R_8, In[R_7]}(In[R_8]) = f_{B_1}(In[R_8]) = gen_{B_1} \cup (In[R_8] - kill_{B_1}) = \\ &= (\emptyset - \{d_4, d_5, d_6\}) \cup \{d_1, d_2, d_3\} = \{d_1, d_2, d_3\} \end{aligned}$$

2.3) область  $R_5$

$$\begin{aligned} In[R_5] &= f_{R_8, In[R_5]}(In[R_8]) = gen_{R_8, In[R_5]} \cup (In[R_8] - kill_{R_8, In[R_5]}) \\ &= \{d_2, d_3, d_4, d_5, d_6\} \cup (\emptyset - \{d_1\}) = \{d_2, d_3, d_4, d_5, d_6\} \end{aligned}$$



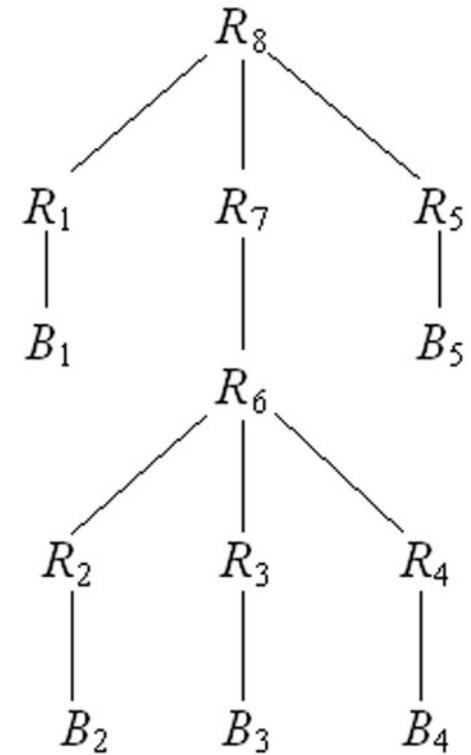
## 9.2. Анализ потока данных на основе областей

### 9.2.4. Пример: применение алгоритма 9.2.3

◇ **Шаг 3:** *Нисходящий просмотр* для вычисления значений  $In[R]$  в начале каждой области:

3) Для подобласти  $R_6$  области  $R_7$  :

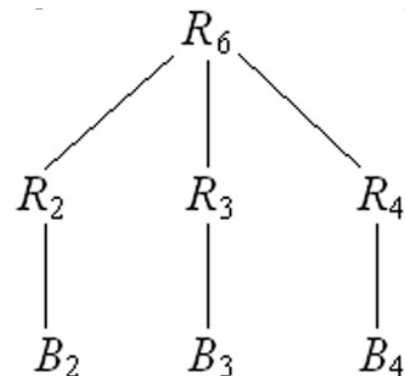
$$\begin{aligned} In[R_6] &= f_{R_7, In[R_6]}(In[R_7]) = \\ &= gen_{R_7, In[R_6]} \cup (In[R_7] - kill_{R_7, In[R_6]}) = \\ &= \{d_4, d_5, d_6\} \cup (\{d_1, d_2, d_3\} - \emptyset) = \\ &= \{d_1, d_2, d_3, d_4, d_5, d_6\} \end{aligned}$$



## 9.2. Анализ потока данных на основе областей

### 9.2.4. Пример: применение алгоритма 9.2.3

◇ **Шаг 3:** *Нисходящий просмотр* для вычисления значений  $In[R]$  в начале каждой области:



4) Для подобластей области  $R_6$ :

4.1) область  $R_4$

$$\begin{aligned} In[R_4] &= f_{R_6, In[R_4]}(In[R_6]) = gen_{R_6, In[R_4]} \cup (In[R_6] - kill_{R_6, In[R_4]}) \\ &= \{d_4, d_5\} \cup (\{d_1, d_2, d_3, d_4, d_5, d_6\} - \{d_1\}) = \{d_2, d_3, d_4, d_5, d_6\} \end{aligned}$$

4.2) область  $R_3$

$$\begin{aligned} In[R_3] &= f_{R_6, In[R_3]}(In[R_6]) = gen_{R_6, In[R_3]} \cup (In[R_6] - kill_{R_6, In[R_3]}) \\ &= \{d_4, d_5\} \cup (\{d_1, d_2, d_3, d_4, d_5, d_6\} - \{d_1\}) = \{d_2, d_3, d_4, d_5, d_6\} \end{aligned}$$

4.3) область  $R_2$

$$\begin{aligned} In[R_2] &= f_{R_6, In[R_2]}(In[R_6]) = gen_{R_6, In[R_2]} \cup (In[R_6] - kill_{R_6, In[R_2]}) \\ &= \emptyset \cup (\{d_1, d_2, d_3, d_4, d_5, d_6\} - \emptyset) = \{d_1, d_2, d_3, d_4, d_5, d_6\} \end{aligned} \quad 82$$

## 9.2. Анализ потока данных на основе областей

### 9.2.4. Пример: применение алгоритма 9.2.3

#### ◆ Результаты шага 3

Значения потока данных для достигающих определений:

$$In[R_8] = \emptyset$$

$$In[R_1] = f_{R_8, In[R_1]}(In[R_8]) = \emptyset$$

$$In[R_7] = f_{R_8, In[R_7]}(In[R_8]) = \{d_1, d_2, d_3\}$$

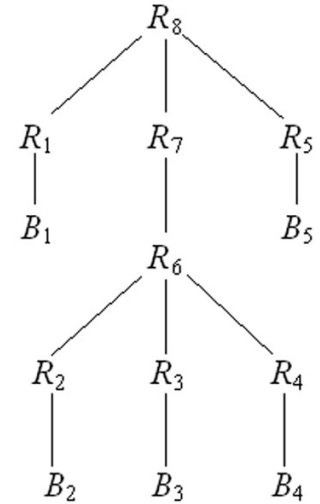
$$In[R_5] = f_{R_8, In[R_5]}(In[R_8]) = \{d_2, d_3, d_4, d_5, d_6\}$$

$$In[R_6] = f_{R_7, In[R_6]}(In[R_7]) = \{d_1, d_2, d_3, d_4, d_5, d_6\}$$

$$In[R_4] = f_{R_6, In[R_4]}(In[R_6]) = \{d_2, d_3, d_4, d_5, d_6\}$$

$$In[R_3] = f_{R_6, In[R_3]}(In[R_6]) = \{d_2, d_3, d_4, d_5, d_6\}$$

$$In[R_2] = f_{R_6, In[R_2]}(In[R_6]) = \{d_1, d_2, d_3, d_4, d_5, d_6\}$$



## 9.2. Анализ потока данных на основе областей

### 9.2.4. Пример: применение алгоритма 9.2.3

#### ◇ Сравнение результатов

Множества определений, достигающих входов в блоки  $B_1, B_2, B_3, B_4, B_5$ , вычисленные с помощью алгоритма 9.2.3:

$$\begin{aligned} In[B_1] &= In[R_1] = \emptyset \\ In[B_2] &= In[R_2] = \{d_1, d_2, d_3, d_4, d_5, d_6\} \\ In[B_3] &= In[R_3] = \{d_2, d_3, d_4, d_5, d_6\} \\ In[B_4] &= In[R_4] = \{d_2, d_3, d_4, d_5, d_6\} \\ In[B_5] &= In[R_5] = \{d_2, d_3, d_4, d_5, d_6\} \end{aligned}$$

Множества определений, достигающих входов в блоки  $B_1, B_2, B_3, B_4, B_5$ , вычисленные без выделения областей (слайд 49):

$$\begin{aligned} In[B_1] &= \emptyset \\ In[B_2] &= \{d_1, d_2, d_3, d_4, d_5, d_6\} \\ In[B_3] &= \{d_2, d_3, d_4, d_5, d_6\} \\ In[B_4] &= \{d_2, d_3, d_4, d_5, d_6\} \\ In[B_5] &= \{d_2, d_3, d_4, d_5, d_6\} \end{aligned}$$